



**PENGARUH KONSENTRASI SELULOSA BATANG KERSEN
(*MUNTINGIA CALABURA*) PADA MATRIKS POLIVINIL ALKOHOL
TERHADAP MORFLOGI DAN KEKUATAN TARIK**

SKRIPSI

Oleh

AFRIL PRIYANTO EKA PRAKOSO

NIM 161910101102

PROGRAM STUDI STRATA 1 TEKNIK MESIN

JURUSAN TEKNIK MESIN

FAKULTAS TEKNIK

UNIVERSITAS JEMBER

2020



**PENGARUH KONSENTRASI SELULOSA BATANG KERSEN
(*MUNTINGIA CALABURA*) PADA MATRIKS POLIVINIL ALKOHOL
TERHADAP MORFLOGI DAN KEKUATAN TARIK**

SKRIPSI

Diajukan guna melengkapi skripsi dan memenuhi salah satu syarat untuk
menyelesaikan Program Studi Teknik Mesin (S1)
dan mencapai gelar Sarjana Teknik

Oleh

AFRIL PRIYANTO EKA PRAKOSO

NIM 161910101102

PROGRAM STUDI STRATA 1 TEKNIK MESIN

JURUSAN TEKNIK MESIN

FAKULTAS TEKNIK

UNIVERSITAS JEMBER

2020

PERSEMBAHAN

Dengan segala puji syukur kehadirat Allah SWT maka skripsi ini penulis persembahkan kepada:

1. Allah SWT. yang telah memberikan rahmat dan karunia-Nya sehingga penulis dapat menyelesaikan skripsi ini dengan baik;
2. Ayahanda Hari Hartono dan Ibunda Endang Rusmawati yang telah memberikan dukungan baik berupa materil dan non materil;
3. Bapak Dr. Mochamad Asrofi, S.T. selaku pembimbing penelitian yang telah meberikan dukungan baik waktu, fikiran serta sarana prasarana selama berlangsungnya penelitian.
4. Guru-guru sejak taman kanak-kanak hingga perguruan tinggi yang telah membimbing dan memberikan ilmu yang bermanfaat;
5. Almamater Fakultas Teknik Universitas Jember yang telah memberikan sarana dan prasarana untuk menuntut ilmu.

PERNYATAAN

Saya yang bertanda tangan di bawah ini:

Nama : Afril Priyanto Eka Prakoso

NIM : 161910101102

Menyatakan dengan sesungguhnya laporan skripsi dengan judul “Pengaruh Konsentrasi Selulosa Batang Kersen (Muntingia Calabura) Pada Matriks Polivinil Alkohol Terhadap Morfologi Dan Kekuatan Tarik” adalah benar-benar hasil karya sendiri, kecuali kutipan yang telah disebutkan sumbernya, dan belum pernah diajukan pada instansi manapun. Saya bertanggung jawab atas keabsahan dan kebenaran isinya sesuai dengan sikap ilmiah yang harus dijunjung tinggi.

Demikian surat pernyataan ini saya buat dengan penuh kesadaran dan tanggung jawab tanpa ada unsur pemaksaan serta bersedia mendapat sanksi akademik jika ternyata di kemudian hari pernyataan ini tidak benar.

Jember, 20 Januari 2020

Yang Menyatakan,

Afril Priyanto Eka Prakoso

161910101102

PENGESAHAN

Skripsi berjudul “Pengaruh Konsentrasi Selulosa Batang Kersen (Muntingia Calabura) Pada Matriks Polivinil Alkohol Terhadap Morfologi Dan Kekuatan Tarik” telah diuji dan disahkan pada :

Hari, Tanggal :

Tempat :

Pembimbing,

Pembimbing I

Pembimbing II

Dr. Mochamad Asrofi, S.T.

NIP 760019035

Yuni Hermawan S.T.,M.T.

NIP 197506152002121008

Penguji,

Penguji I

Penguji II

Dr. Salahuddin Junus S.T.M.T.

NIP 197510062002121002

Santoso Mulyadi S.T.,M.T.

NIP 197002281997021001

Mengesahkan

Dekan Falkultas Teknik Universitas Jember

Dr. Triwahju Hardianto S.T, M.T.

NIP 197008261997021001

DAFTAR ISI

	Halaman
LEMBAR JUDUL	i
DAFTAR ISI	ii
DAFTAR GAMBAR	iv
DAFTAR TABEL	v
BAB 1. PENDAHULUAN	
1.1 Latar Belakang	1
1.2 Rumusan Masalah	3
1.3 Batasan Masalah.....	3
1.4 Tujuan dan Manfaat	4
1.4.1 Tujuan	4
1.4.2 Manfaat	4
BAB 2. TINJAUAN PUSTAKA	
2.1 Plastik Biodegradable.....	5
2.1.1 Pengertian Biodegradable	5
2.1.2 Faktor Yang Mempengaruhi	6
2.2 Pembuatan Plastik Biodegradable.....	8
2.3 Matriks.....	10
2.3.1 Polivinil Alkohol	10
2.3.2 Sifat PVA	11
2.4 Serat (<i>Fiber</i>).....	13
2.4.1 Selulosa	13
2.4.2 Karakteristik Selulosa Kayu.....	13
2.4.3 Serat Batang Kersen (<i>Muntingia Calabura</i>)	14
2.5 Karakterisasi Biokomposit Polimer.....	15
2.5.1 Pengujian Tarik	15
2.5.2 Pengujian Morfologi	16
BAB 3. METODE PENELITIAN	
3.1 Jenis Penelitian	19
3.2 Waktu dan Tempat Penelitian	19

3.3 Alat dan Bahan	19
3.3.1 Alat	19
3.3.2 Bahan	22
3.4 Prosedur Penelitian	22
3.5 Teknik Pengumpulan Data dan Analisa Data	23
3.5.1 Pengumpulan Data.....	23
3.5.2 Analisa Data	24
3.6 Diagram Penelitian	25
3.6.1 Preparasi Bahan (Selulosa)	25
3.6.2 Pembuatan Biokomposit	26
BAB 4. HASIL DAN PEMBAHASAN	
4.1 Hasil Pembuatan Biokomposit Selulosa Kersen/PVA	27
4.2 Hasil Uji Tarik Biokomposit	27
4.2.1 Hasil Uji Tarik Biokomposit PVA/Selulosa Kersen	27
4.2.2 Hasil Uji Tarik Biokomposit Pada Penelitian Terdahulu ..	30
4.3 Hasil Uji SEM Biokomposit	31
4.3.1 Hasil SEM Spesimen 2% Konsentrasi Serat.....	31
4.3.2 Hasil SEM Spesimen 8% Konsentrasi Serat.....	32
4.3.3 Perbandingan Hasil SEM Dengan Penelitian Terdahulu ...	32
BAB 5. PENUTUP	
5.1 Kesimpulan	34
5.2 Saran	34
DAFTAR PUSTAKA	

DAFTAR GAMBAR

Gambar 2.1 Mekanisme degradabilitas plastik biodegradable.....	7
Gambar 2.2 Struktur Komposit	9
Gambar 2.3 Jenis Komposit Berdasarkan Penguat.....	10
Gambar 2.4 Struktur Kimia Polivinil Alkohol	12
Gambar 2.5 Struktur Selulosa.....	14
Gambar 2.6 Grafik Tegangan Terhadap Regangan	17
Gambar 2.7 Blok Diagram SEM	17
Gambar 2.8 Prinsip Kerja SEM.....	19
Gambar 3.1 Ilustrasi pengaruh Beban Terhadap Penambahan Panjang	27
Gambar 4.1 Visualisasi Dimensi Pada Plastik Biokomposit.....	29
Gambar 4.2 Diagram Pengaruh Fraksi Serat Terhadap Kekuatan Tarik	30
Gambar 4.3 Diagram Pengaruh Fraksi Serat Terhadap Elongation at Break...	30
Gambar 4.4 Diagram Pengaruh Fraksi Serat Terhadap Modulus Elastisitas ...	31
Gambar 4.5 Hasil Uji Tarik Biokomposit Polyester/Serat Kenaf	32
Gambar 4.6 Foto SEM Pada Permukaan Patahan 2% Serat	34
Gambar 4.7 Foto SEM Pada Permukaan Patahan 8% Serat	34
Gambar 4.7 Foto SEM Pada Permukaan Patahan 8% Komposit	35

DAFTAR TABEL

Tabel 2.1 Sifat Fisik.....	9
Tabel 3.1 Rancangan Hasil Pengujian Uji ketahanan Air.....	25



BAB 1. PENDAHULUAN

1.1 Latar Belakang

Masalah polusi plastik telah berkembang menjadi ancaman bagi ekologi global karena ketahanan plastik terhadap degradasi. Polusi plastik muncul baik dari sumber darat maupun laut. Sumber limbah terus-menerus didapatkan melalui dua cara, yaitu secara sengaja melalui pembuangan ilegal atau pembuangan limbah yang tidak tepat dari sampah domestik dan industri, dan secara tidak sengaja melalui limbah statis dan limbah yang metode pengolahannya buruk, sehingga limbah tidak sepenuhnya terolah dengan baik. Polusi semacam itu menghasilkan sejumlah dampak buruk (Hayden, 2013).

Hampir setiap produk dalam kehidupan sehari-hari menggunakan plastik sebagai bahan dasar, seperti kemasan. Jenis plastik yang sering digunakan adalah *Polypropylene* (PP) dan *Polyethylene* (PE). Jenis plastik tersebut merupakan polimer hidrokarbon yang sangat sulit terdegradasi secara alami oleh mikroorganisme (Arutchelvi, 2008). Timbunan sampah yang terus bertambah setiap harinya tetap menjadi masalah lingkungan yang hingga saat ini masih sulit untuk diatasi. Plastik diperoleh dari bahan baku petrokimia yang tidak mudah terdegradasi merupakan sumber utama limbah. Limbah polimer ini menimbulkan ancaman besar bagi lingkungan karena sulit untuk terdegradasi. Waktu yang dibutuhkan oleh kebanyakan polimer sintetik untuk dapat sepenuhnya terurai diperkirakan sekitar 50 dekade, dan selama periode tersebut fenomena alam dapat dipengaruhi oleh kehadiran bahan-bahan ini (Obasi, 2015)

Untuk mengatasi masalah yang ditimbulkan oleh limbah plastik ini banyak upaya telah dilakukan untuk mendapatkan bahan yang ramah lingkungan. Selama beberapa dekade terakhir, penelitian difokuskan pada substitusi plastik berbasis petrol dengan bahan-bahan yang dapat mengalami biodegradasi dan menjadikannya lebih murah. Plastik *biodegradable* dapat diperoleh dari polimer sintetik seperti polivinil alkohol, polycaprolactone, dan asam polylactic atau dari sumber daya alam seperti selulosa, pati, dan kitin. Akan tetapi jika dilihat dari segi

kekuatan mekanik plastik dengan bahan baku yang dapat terdegradasi masih terlalu rendah jika dibandingkan dengan plastik berbasis petrol.

Pembuatan biokomposit dapat menjadi solusi dalam upaya mengimbangi kekuatan mekanik dari plastik konvensional, dengan cara menggabungkan dua atau lebih polimer alam guna mendapatkan sifat unggul dari material tersebut. Komposit tersusun atas dua tipe material penyusun yakni matriks dan fiber (reinforcement). Keduanya memiliki fungsi yang berbeda, fiber berfungsi sebagai material rangka yang menyusun komposit, sedangkan matriks berfungsi untuk merekatkan fiber dan menjaganya agar tidak berubah posisi. Campuran keduanya akan menghasilkan material yang keras, kuat, namun ringan.

Pilihan matriks pada penelitian ini adalah Polivinil Alkohol (PVA) yang merupakan polimer sintetik hidrofilik, biodegradabel, biokompatibel dan memiliki kapasitas sebagai perekat (Roohani et al., 2008). PVA banyak digunakan sebagai bahan kemasan alternatif yang menjanjikan karena sifatnya yang sangat baik dalam pembentukan kemasan, tahan terhadap minyak dan lemak, memiliki kekuatan tarik, dan fleksibilitas tinggi. Akan tetapi sifat ini sangat bergantung pada kelembaban, dimana semakin tinggi kelembaban maka akan semakin banyak air yang diserap dari lingkungan sekitar. Sehingga menyebabkan film PVA mengalami penurunan kekuatan tarik, kekuatan sobek dan mengalami kenaikan perpanjangan (Mbele, 2003). Penambahan fiber (reinforcement) diharapkan dapat mengatasi permasalahan tersebut.

Fiber (reinforcement) harus memiliki sifat yang kuat, karena akan menjadi rangka penyusun komposit. Salah satu material yang mumpuni dan sumber dayanya melimpah adalah selulosa. Selain sifatnya yang dapat terurai, selulosa berasal dari sumber daya alam yang dapat diperbaharui, bersifat universal dan memiliki harga yang terjangkau, sehingga selulosa menjadi material yang menjanjikan untuk membentuk biokomposit polimer (Walle, 2009). Pembuatan bioplastik biasanya menggunakan serat yang memiliki kandungan selulosa tinggi, seperti kapas yang memiliki 90% kandungan selulosa. Namun kapas tersebut termasuk bahan utama pembuatan kain dan bahan tekstil (Asim et al., 2015).

Maka dari itu, dibutuhkan alternatif lain untuk mendapatkan sumber selulosa, salah satu solusinya adalah menggunakan serat dari batang tumbuhan kersen (*muntingia calabura*), karena dapat tumbuh di hampir seluruh dataran Indonesia dan pemanfaatan dari masyarakat yang kurang, sehingga memiliki potensi yang baik sebagai *reinforce* (penguat). Serat batang dari spesies *Muntingia calabura* dapat diekstraksi menggunakan metode *water retting* atau ekstraksi dengan menggunakan bahan kimia. Memiliki kekuatan tarik serat 416-872Mpa,kandungan selulosa 68,51%, kepadatan 1,351g / cc, indeks kristalinitas 47% (Trieha, 2015). Dari data tersebut mengidentifikasi bahwa ini merupakan salah satu serat alami yang baik yang dapat digunakan sebagai penguat (reinforcement) yang baik.

Oleh karena itu,dengan menggabungkan dua material tersebut diharapkan dapat menjadi solusi dari masalah kelembaban dan dapat meningkatkan sifat mekanik, sifat termal, dan struktur kimia. Ini juga merupakan salah satu cara yang efektif untuk menekan biaya produksi plastik berbahan dasar PVA. Pada penelitian ini, penulis melakukan pembuatan biopolimer dengan mencampurkan *Polyninyl Alcohol* dan serat batang kersen (*Muntingia Calabura*). Karena menurut sepengetahuan penulis, masih belum terdapat publikasi tentang penelitian ini. Diharapkan pula dapat bermanfaat dan memberikan alternatif plastik ramah lingkungan sehingga dapat mengurangi limbah plastik.

1.2 Rumusan Masalah

Berdasarkan latar belakang di atas maka dapat disajikan rumusan masalah sebagai berikut.

1. Bagaimana pengaruh penambahan 0%, 2%, 4%, 6%, dan 8% konsentrasi serat batang kersen terhadap kekuatan tarik, elastisitas dan *elongation at break* melalui pengujian tarik pada biokomposit dengan PVA sebagai matriks.
2. Bagaimana pengaruh penambahan 0%, 2%, 4%, 6% dan 8% konsentrasi serat terhadap struktur mikro melalui pengujian SEM pada biokomposit dengan PVA sebagai matriks.

3. Bagaimana perbandingan kekuatan tarik, elastisitas dan *elongation at break* plastik konvensional dengan biokomposit berbasis PVA dengan penambahan 0%, 2%, 4%, 6% dan 8% konsentrasi serat batang kersen.

1.3 Batasan Masalah

Ruang lingkup penelitian ini cukup luas sehingga dibutuhkan batasan masalah agar penelitian lebih terarah untuk mencapai tujuan yang diinginkan. Batasan masalah pada penelitian ini adalah sebagai berikut.

1. Bahan dasar yang digunakan yaitu serat batang kersen dan *Polyvinyl Alcohol*
2. Serat batang kersen didapatkan dari daerah Kelurahan Jember Lor, Kecamatan Patrang, Kabupaten Jember, Jawa Timur .
3. Pengujian yang dilakukan yakni pengujian mekanik berupa pengujian tarik yang dilakukan di Laboratorium Fisika Modern, Fakultas Matematika dan Ilmu Pengetahuan Alam (MIPA), Universitas Jember dan pengujian morfologi menggunakan SEM yang dilakukan di Laboratorium Biosains, Politeknik Negeri Jember sebagai berikut.

1.4 Tujuan dan Manfaat

1.4.1 Tujuan

Tujuan dilakukan penelitian ini adalah sebagai berikut.

1. Pengaruh penambahan 0%, 2%, 4%, 6%, dan 8% konsentrasi serat batang kersen terhadap kekuatan tarik, elastisitas dan *elongation at break* melalui pengujian tarik pada biokomposit dengan PVA sebagai matriks.
2. Pengaruh penambahan 0%, 2%, 4%, 6% dan 8% konsentrasi serat terhadap struktur mikro melalui pengujian SEM pada biokomposit dengan PVA sebagai matriks.
3. Perbandingan kekuatan tarik, elastisitas dan *elongation at break* plastik konvensional dengan biokomposit berbasis PVA dengan penambahan 0%, 2%, 4%, 6% dan 8% konsentrasi serat batang kersen.

1.4.2 Manfaat

Manfaat dari penelitian ini adalah sebagai berikut.

1. Memperoleh informasi tentang pengaruh penambahan 0%, 2%, 4%, 6%, dan 8% konsentrasi serat batang kersen terhadap kekuatan tarik, elastisitas dan *elongation at break* melalui pengujian tarik pada biokomposit dengan PVA sebagai matriks.
2. Memperoleh informasi tentang pengaruh penambahan 0%, 2%, 4%, 6% dan 8% konsentrasi serat terhadap struktur mikro melalui pengujian SEM pada biokomposit dengan PVA sebagai matriks.
3. Memperoleh informasi tentang perbandingan kekuatan tarik, elastisitas dan *elongation at break* plastik konvensional dengan biokomposit berbasis PVA dengan penambahan 0%, 2%, 4%, 6% dan 8% konsentrasi serat batang kersen.

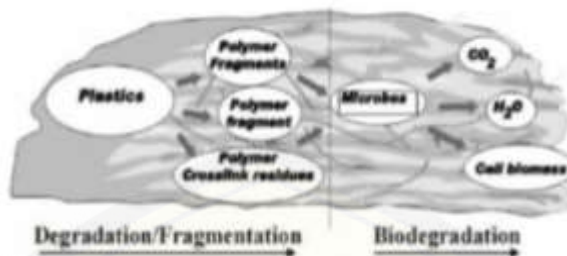
BAB 2. TINJAUAN PUSTAKA

2.1 Plastik *Biodegradable*

2.1.1 Pengertian *Biodegradable*

Secara umum, *biodegradable* diartikan sebagai material yang dapat didaur ulang dan dapat dihancurkan secara alami. Plastik biodegradable disebut juga bioplastik yaitu plastik yang seluruh atau hampir seluruh komponennya berasal dari bahan baku yang dapat diperbaharui. (Stevens, 2001). Menurut Griffin (1994), plastik *biodegradable* adalah suatu bahan dalam kondisi tertentu, waktu tertentu mengalami perubahan dalam struktur kimianya, yang mempengaruhi sifat-sifat yang dimilikinya karena pengaruh mikroorganisme (bakteri, jamur, alga).

Menurut Pranamuda (2001), plastik *biodegradable* adalah plastik yang dapat digunakan layaknya seperti plastik konvensional, namun akan hancur terurai oleh aktivitas mikroorganisme menjadi hasil akhir air dan gas karbondioksida setelah habis terpakai dan dibuang ke lingkungan. Plastik biodegradable merupakan bahan plastik yang ramah terhadap lingkungan karena sifatnya yang dapat kembali ke alam. Secara umum, kemasan biodegradabel diartikan sebagai film kemasan yang dapat didaur ulang dan dapat dihancurkan secara alami. Pada dasarnya film kemasan mensyaratkan sifat-sifat fleksibel, dapat-dicetak, tidak berbau, mampu menghambat keluar masuknya gas dan uap air, serta transparan. Di samping bersifat dapat dihancurkan secara alami maupun mikrobiologis, bahan bioplastik sebaiknya mudah diperoleh dengan siklus waktu penyediaan yang singkat (Paramawati, 2007). Bahan pertanian yang mempunyai potensi untuk pembuatan film kemasan ramah lingkungan antara lain adalah polisakarida. Dengan mempertimbangkan segi kebutuhan komparatif, polisakarida dari hasil pertanian bernilai lebih murah karena tersedia melimpah. Oleh karena itu, Indonesia dapat menjajaki kelayakan teknisnya sebagai bahan bioplastik. Mekanisme degradabilitas dijelaskan pada Gambar 2.1.



Gambar 2.1. Mekanisme degradabilitas plastik biodegradable

(Narayan,2003)

Berdasarkan bahan baku yang digunakan plastik *biodegradable* dikelompokkan menjadi dua, yaitu kelompok dengan bahan baku petrokimia (*non-renewable resources*) dengan bahan aditif dari senyawa bio-aktif yang bersifat *biodegradable* dan kelompok kedua dari semua bahan bakunya berasal dari sumber daya alam terbarukan (*renewable resources*), seperti dari bahan tanaman pati dan selulosa serta hewan seperti cangkang atau mikroorganisme yang dimanfaatkan untuk mengakumulasi plastik yang berasal dari sumber tertentu misalnya lumpur aktif dan limbah cair yang kaya akan bahan-bahan organik sebagai sumber makanan bagi mikroorganisme tersebut (Adam et al, 2009).

2.1.2 Faktor-Faktor Yang Mempengaruhi Pembuatan Plastik *Biodegradable*

1. Temperatur

Perlakuan suhu diperlukan untuk membentuk plastik *biodegradable* yang utuh tanpa adanya perlakuan panas kemungkinan terjadinya interaksi molekul sangatlah kecil sehingga pada saat plastik dikeringkan akan menjadi retak dan berubah menjadi potongan-potongan kecil. Perlakuan panas diperlukan untuk membuat plastik tergelatinisasi, sehingga terbentuk pasta pati yang merupakan bentuk awal dari plastik. Kisaran suhu gelatinisasi pati rata-rata 64,5oC-70oC (Krochta, 1994).

2. Konsentrasi Polimer

Konsentrasi pati ini sangat berpengaruh terutama pada sifat fisik plastik yang dihasilkan dan juga menentukan sifat yang dihasilkan. Menurut Krochta (1997), semakin besar konsentrasi matrix (polimer) maka jumlah polimer penyusun matrik plastik semakin besar sehingga dihasilkan plastik yang tebal.

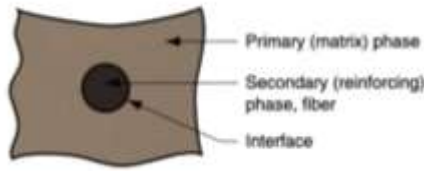
3. *Plasticizer*

Plasticizer ini merupakan bahan *nonvolatile* yang ditambah kedalam formula plastik akan berpengaruh terhadap sifat mekanik dan fisik plastik yang terbentuk karena akan mengurangi sifat intermolekul dan menurunkan ikatan hidrogen internal. Plasticizer mempunyai titik didih tinggi dan penambahan plasticizer diperlukan untuk mengatasi sifat rapuh plastik yang disebabkan oleh kekuatan intermolekul ekstensif(Gotard et al, 1993). Menurut Krocht (1997), plasticizer polyol yang sering digunakan yakni gliserol dan sorbitol.

2.2 Pembuatan Plastik Biodegradable

Komposit adalah suatu material yang terbentuk dari kombinasi dua atau lebih material sehingga dihasilkan material komposit yang mempunyai sifat mekanik dan karakteristik yang berbeda dari material pembentuknya. Komposit memiliki sifat mekanik yang lebih bagus dari logam, kekakuan jenis (*modulus Young/density*) dan kekuatan jenisnya lebih tinggi dari logam. Beberapa lamina komposit dapat ditumpuk dengan arah orientasi serat yang berbeda, gabungan lamina ini disebut sebagai laminat (Omar, 2010). Komposit dibentuk dari dua jenis material yang berbeda seperti pada Gambar 2.2, yaitu:

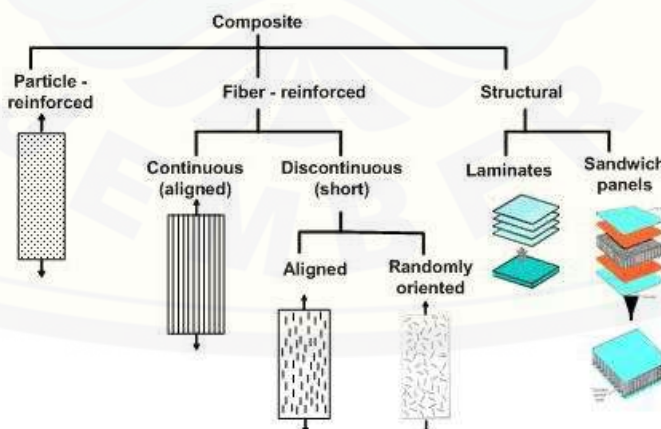
1. Penguat (*reinforcement*), yang mempunyai sifat kurang *ductile* tetapi lebih *rigid* serta lebih kuat, dalam laporan ini penguat komposit yang digunakan yaitu dari serat alam.
2. Matriks, umumnya lebih *ductile* tetapi mempunyai kekuatan dan rigiditas yang lebih rendah.



Gambar 2.2 Struktur Komposit (Omar,2010)

Secara garis besar ada 3 macam jenis komposit berdasarkan penguat yang digunakannya seperti pada gambar 2.3, yaitu :

1. *Fibrous Composites* (Komposit Serat) merupakan jenis komposit yang hanya terdiri dari satu laminat atau satu lapisan yang menggunakan penguat berupa serat atau *fiber*. *Fiber* yang digunakan bisa berupa *glass fibers*, *carbon fibers*, *aramid fibers (poly aramide)*, dan sebagainya. *Fiber* ini bisa disusun secara acak maupun dengan orientasi tertentu bahkan bisa juga dalam bentuk yang lebih kompleks seperti anyaman.
2. *Laminated Composites* (Komposit Laminat) merupakan jenis komposit yang terdiri dari dua lapis atau lebih yang digabung menjadi satu dan setiap lapisnya memiliki karakteristik sifat sendiri.
3. *Particulate Composites* (Komposit Partikel) merupakan komposit yang menggunakan partikel/serbuk sebagai penguatnya dan terdistribusi secara merata dalam matriksnya.



Gambar 2.3 Jenis Komposit Berdasarkan Penguat (Omar,2010)

Bioplastik atau yang lebih sering disebut plastik *biodegradable*, merupakan salah satu jenis plastik yang hampir keseluruhannya terbuat dari bahan yang dapat diperbaharui seperti pati, selulosa dan mikrobiota. Ketersediaan bahan dasarnya di alam sangat melimpah. Bahan yang dapat diperbaharui ini memiliki biodegradabilitas yang tinggi sehingga sangat berpotensi untuk dijadikan bahan pembuat bioplastik (stevens, 2002).

Menurut Guilbert (1986), tahapan pembuatan Bioplastik adalah sebagai berikut:

1. Pensuspensian bahan dalam pelarut

Pembuatan larutan film diawali dengan pensuspensian bahan dalam pelarut seperti etanol, air atau bahan pelarut lain.

2. Penambahan *plastizicer*

Plastizicer ditambahkan untuk memperbaiki sifat mekanik yaitu memberikan fleksibilitas pada sebuah polimer film sehingga film lentur ketika dibengkokkan, tidak mudah putus dan kuat.

3. Pengaturan suhu

Pengaturan suhu pada pembuatan *film* bertujuan membentuk pati tergelatinisasi yang merupakan awal pembentukan *film*. Suhu pemanasan akan menentukan sifat mekanik *film* karena suhu ini menentukan tingkat gelatinisasi yang terjadi dan sifat fisik pasta yang terbentuk.

4. Pengeringan.

Pengeringan bertujuan untuk menguapkan pelarut sehingga diperoleh *film*. Suhu mempengaruhi waktu pengeringan dan kenampakan *film* yang dihasilkan.

2.3 Matriks

2.3.1 Polivinil Alkohol

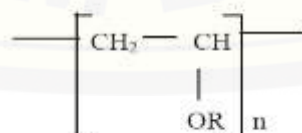
Polivinil alkohol (PVA) merupakan polimer yang sangat menarik, karena banyak karakter dari PVA yang sesuai dengan karakter polimer yang banyak diinginkan khususnya dalam bidang farmasi dan biomedis. Kristalinitas alami dari PVA merupakan sifat yang menarik terutama dalam preparasi hidrogel. PVA

memiliki struktur kimia yang sederhana dengan gugus hidroksil yang tidak beraturan. Monomernya, yaitu vinil alkohol tidak berada dalam bentuk stabil, tetapi berada dalam keadaan tautomer dengan asetaldehida (Peppas, 2000).

PVA dihasilkan dari polimerisasi vinil asetat menjadi polivinil asetat (PVAc), kemudian diikuti dengan hidrolisis PVAc menjadi PVA. Kualitas PVA yang baik secara komersial ditentukan oleh derajat hidrolisis yang tinggi, yaitu di atas 98.5%. Derajat hidrolisis dan kandungan asetat dalam polimer sangat berpengaruh terhadap sifat-sifat kimianya, seperti kelarutan dan kristalinitas PVA. Derajat hidrolisis berpengaruh terhadap kelarutan PVA dalam air, semakin tinggi derajat hidrolisisnya maka kelarutannya akan semakin rendah (Hassan and Peppas, 2000).

2.3.2 Sifat PVA

PVA merupakan polimer yang banyak digunakan karena memiliki sifat lentur dan dapat membentuk ikatan hidrogen dengan molekul kitosan, selain itu PVA juga mudah diuraikan secara alami (*biodegradable*) pada kondisi yang sesuai. PVA komersial biasanya merupakan campuran dari beberapa tipe stereoregular yang berbeda (isotaktik, ataktik, dan sindiotaktik). PVA dengan derajat hidrolisis 98.5% atau lebih dapat dilarutkan dalam air pada suhu 70 °C (Wang et al., 2004). Polivinil alkohol (PVA) merupakan zat yang tidak berasa, tidak berbau, dapat terurai oleh alam dan biokompatibel. Selain dapat terlarut dalam air, Polivinil alkohol juga dapat larut dalam etanol. Namun, zat ini tidak dapat larut dalam pelarut organik. Struktur kimia polivinil alkohol (PVA) seperti yang ditampilkan pada Gambar 2.4 berikut.



Gambar 2.4 Struktur kimia Polivinil Alkohol

(Wang et al., 2004).

PVA dikembangkan pertama kali oleh Hermann dan Haehnel pada tahun 1924. Proses pembuatan PVA dilakukan dengan menghidrolisis polivinil asetat (PVA). Tingkat konsumsi PVA di dunia telah mencapai beberapa ratus ribu ton per tahun dan diprediksi akan meningkat sekitar 2,5% per tahun antara tahun 2006 dan 2011. Terdapat sejumlah produsen PVA di seluruh dunia yang mayoritas berbasis di negara-negara Asia. Cina memiliki pangsa pasar terbesar dengan porsi 45% pada tahun 2006 dan nilai ini diperkirakan akan terus berkembang (Ogur, 2005).

Seiring dengan semakin tumbuhnya kesadaran akan polimer hijau yang ramah terhadap lingkungan, penggunaan polivinil alkohol menjadi semakin meningkat dan menjanjikan. Salah satu pemanfaatan PVA sebagai bahan sekali pakai adalah aplikasi PVA pada kantong kotoran hewan yang akan terurai setelah dibuang. Selain itu, PVA juga dapat diaplikasikan pada bola golf, sehingga pegolf tidak perlu mencari bolanya setelah dipukul karena bola tersebut akan terurai di alam. Di dalam industri pangan, PVA digunakan sebagai bahan pelapis karena sifatnya kedap terhadap uap air. PVA mampu menjaga komponen aktif dan bahan lainnya yang terkandung di dalam bahan dari kontak dengan oksigen. Secara komersial, Tabel 2.1 menjelaskan tentang sifat fisik PVA. PVA adalah plastik yang paling penting dalam pembuatan film yang dapat larut dalam air. (Ogur, 2005).

Tabel 2.1 Sifat Fisik PVA

(Ogur, 2005)

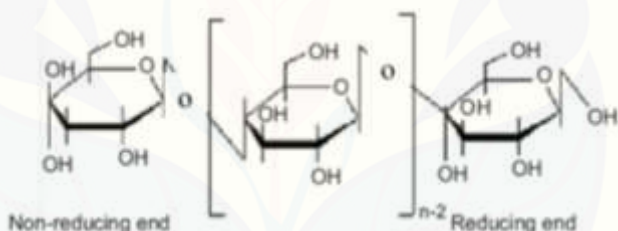
Karakter	Nilai
Densitas	1,19 – 1.31 g/cm ³
Titik Leleh	180-240 °C
Titik didih	228 °C
Suhu Penguraian	180 °C

2.4 Serat (*Fiber*)

2.4.1 Selulosa

Selulosa merupakan polimer linier glukan dengan struktur rantai yang seragam. Unit – unit terikat dengan ikatan $\beta - 1,4$ glikosidik. Dua unit glukosa yang berdekatan bersatu dengan mengeliminasi satu molekul air di antara gugus hidroksil pada karbon 1 dan karbon 4 Selulosa mempunyai bobot molekul yang sangat bervariasi berkisar antara 50.000 hingga 2,5 juta bergantung pada sumbernya. Ukuran panjang rantai molekul selulosa dinyatakan sebagai derajat polimerasi (DP). Derajat polimerasi dihitung dengan cara membagi bobot selulosa dengan bobot molekul glukosa (Wegener, 1984).

Menurut Sjostrom (1981) perlakuan fisik dan kimia yang intensif dapat menurunkan derajat polimerasi selulosa. Sifat polimer ditentukan oleh panjang rantai molekul dari polimer itu sendiri seperti pada Gambar 2.5 berikut.



Gambar 2.5 Struktur Selulosa (Wegener, 1984)

Polimer selulosa terdiri atas 2 bagian, yaitu bagian dengan susunan rantai yang teratur (kristalin) dan bagian dengan susunan rantai yang tidak teratur (amorf). Derajat kristalinitas suatu polimer berpengaruh besar terhadap sifat polimer yang terkait dengan penggunaannya. Pada umumnya selulosa bersifat relatif kristalin (Sjostrom, 1981). Morfologi selulosa mempunyai pengaruh besar terhadap reaktifitasnya. Reaktifitas selulosa juga dipengaruhi oleh kehalusan struktur selulosa.

2.4.2 Karakteristik Selulosa Kayu

Selulosa mikrobial mempunyai karakteristik yang unik dan relative lebih unggul dari selulosa kayu terutama tingkat kemurniaannya (Brown, 1983). Pada

tanaman (kayu), selulosa yang dihasilkan masih berikatan kuat dengan senyawa lignin dan hemiselulosa. Persentase kandungan selulosa, lignin dan hemiselulosa adalah 42 %, 16 % dan 25 % dari kayu lunak atau kayu daun lebar (Sjostrom, 1995). Pada umumnya selulosa terdiri dari selulosa α dan selulosa β . Selulosa kayu dan selulosa mikrobial terdiri dari kedua selulosa tersebut, hanya memiliki perbedaan komposisi. Pada selulosa kayu, kandungan selulosa α lebih tinggi yaitu sekitar 70 % dan sisanya 30 % adalah selulosa β . Sedangkan pada selulosa bakteri kandungan selulosa β lebih besar yaitu sebanyak 60%. (Sugiyama, 1991).

Dalam beberapa hal lainnya, selulosa kayu memiliki perbedaan dengan selulosa mikrobial. Pada selulosa kayu terdapat lamela atau ultrastruktur sel serat sedangkan selulosa mikrobial memiliki ultrafine sel serat. Hal ini menyebabkan perbedaan ukuran serat. Ukuran serat selulosa mikrobial lebih kecil 1/10 sampai 1/1000 dari ukuran serat selulosa kayu (Yoshinaga et al., 1996). Perbedaan lainnya adalah derajat polimerisasi. Derajat polimerisasi selulosa kayu lebih konstan sedangkan derajat polimerasi selulosa mikrobial akan naik secara linier tergantung masa pertumbuhan organisme. Selain derajat polimerisasi, perbedaan juga terletak pada derajat kristalinitas bahan. Selulosa mikrobial lebih memiliki derajat kristalinitas yang lebih tinggi dibandingkan selulosa tanaman (kayu) (Watanabe, 1994).

Lapisan pelikel dari selulosa bakteri memiliki modulus young yang tinggi kira – kira 156 GPa. Modulus ini dipengaruhi oleh ikatan interfibril serta kristalinitas selulosa mikrobial. Selulosa mikrobial dapat diproses menjadi suspense stabil dengan menggunakan proses homogenisasi mekanik. Aplikasi dari selulosa mikrobial adalah untuk pembuatan akustik diafragma, kulit buatan penutup luka, dan pembuatan kertas bermutu tinggi (Yamanaka et al., 1994). Selulosa mikrobial mempunyai beberapa keunggulan antara lain kemurnian yang tinggi, derajat kristalinitas yang tinggi, mempunyai kerapatan antara 300 dan 900 kg/m³, kekuatan tarik yang tinggi, dan elastis. (Krystynowicz, 2001).

2.4.3 Serat Batang Kersen (*Muntingia Calabura*)

Kersen adalah tanaman tahunan yang dapat mencapai ketinggian 10 meter. Kersen memiliki beberapa bagian seperti daun, batang, bunga, dan buah. Batang tambuhan kersen berkayu, tegak, bulat, dan memiliki percabangan simpodial. Daun kersen, mengandung flavonoid, tanin, glikosida, saponin, steroid, dan minyak esensial (Sasongko,2014).

Serat batang dari spesies kersen (*Muntingia calabura*) diekstraksi menggunakan metode water retting. Memiliki kekuatan tarik serat 416-872Mpa,kandungan selulosa 68,51%, kepadatan 1,351g / cc, indeks kristalinitas 47% (Trieha, 2015). Dari data tersebut mengidentifikasi bahwa ini merupakan salah satu serat alami yang baik yang dapat digunakan sebagai penguat (*reinforcement*) yang baik.

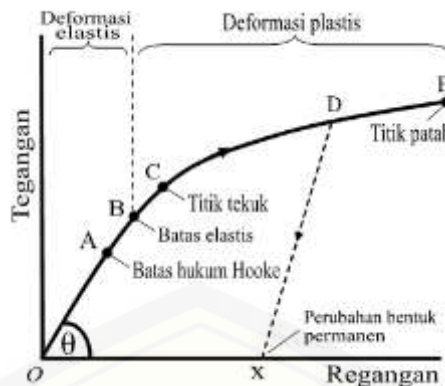
2.5 Karakterisasi Biokomposit Polimer

2.5.1 Pengujian Tarik

Uji tarik rekayasa banyak dilakukan untuk melengkapi informasi rancangan dasar kekuatan suatu bahan dan sebagai data pendukung bagi spesifikasi bahan (Dieter, 1987). Pada uji tarik, benda uji diberi beban gaya tarik sesumbu yang bertambah secara kontinyu, bersamaan dengan itu dilakukan pengamatan terhadap perpanjangan yang dialami benda uji (Troxell,1955).

Alat eksperimen untuk uji tarik ini harus memiliki cengkeraman (grip) yang kuat dan kekakuan yang tinggi (*highly stiff*). Brand terkenal untuk alat uji tarik antara lain adalah antara lain adalah Shimadzu, Instron dan Dartec.

Banyak hal yang dapat kita pelajari dari hasil uji tarik. Bila skita terus menarik suatu bahan sampai putus, kita akan mendapatkan profil tarikan yang lengkap yang berupa kurva yang menunjukkan hubungan antara gaya tarikan dengan perubahan panjang. Profil ini sangat diperlukan dalam desain yang memakai bahan tersebut.



Gambar 2.6 Grafik Tegangan Terhadap Regangan

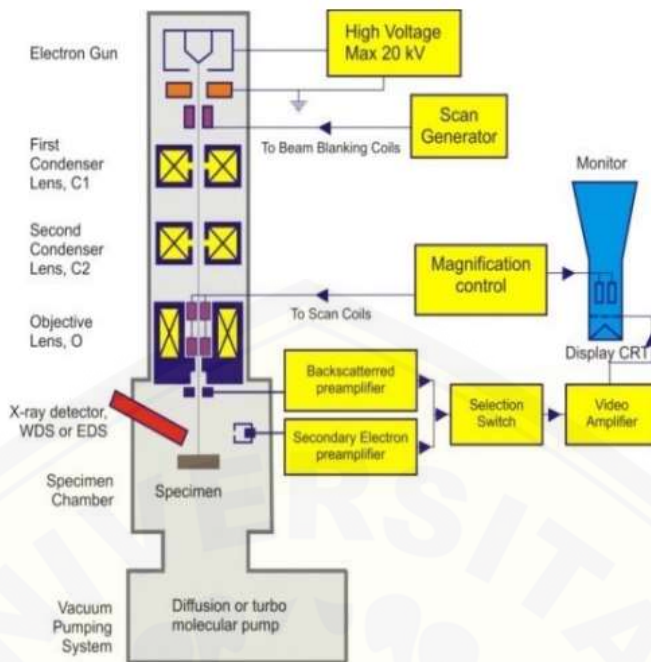
(Troxell,1955)

Pada grafik tegangan terhadap regangan yang ditunjukkan pada Gambar 2.6. Biasanya yang menjadi fokus perhatian adalah kemampuan maksimum bahan tersebut dalam menahan beban. Kemampuan ini umumnya disebut “Ultimate Tensile Strength” disingkat dengan UTS, dalam bahasa Indonesia disebut tegangan tarik maksimum.

2.5.2 Pengujian Morfologi (SEM)

SEM dapat mengamati struktur maupun bentuk permukaan yang berskala lebih halus, Dilengkapi Dengan EDS (Electron Dispersive X ray Spectroscopy) dan Dapat mendeteksi unsur-unsur dalam material. Juga Permukaan yang diamati harus penghantar elektron. Elektron memiliki resolusi yang lebih tinggi daripada cahaya. Cahaya hanya mampu mencapai 200 nm sedangkan elektron bisa mencapai resolusi sampai 0,1 – 0,2 nm (A. Sujatno, 2015).

Hasil analisa atau keluaran dari analisis SEM-EDX yaitu berupa gambar struktur permukaan dari setiap sampel dengan karakteristik gambar 3- D serta grafik hubungan antara energi pada sumbu horizontal dengan cecahan pada sumbu pertikal dari keluaran ini dapat diketahui unsur – unsur atau mineral yang terkandung di dalam sampel tersebut, yang mana keberadaan unsur atau mineral tersebut dapat ditentukan atau diketahui berdasarkan nilai energi yang dihasilkan pada saat penembakan sinar elektron primer pada sampel (Prasetyo,2011).

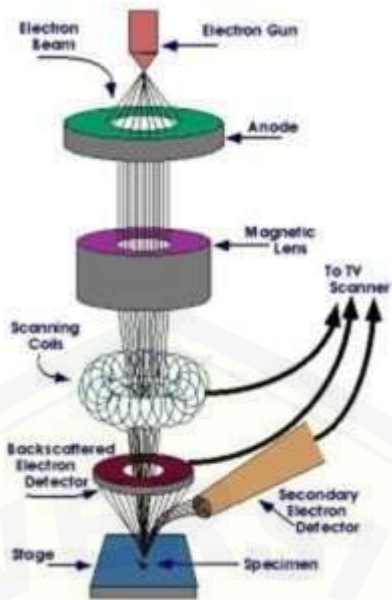


Gambar 2.7 Blok Diagram SEM

(A. Sujatno, 2015)

SEM memiliki perbesaran 10 – 3000000x, depth of field 4 – 0.4 mm dan resolusi sebesar 1 – 10 nm. Kombinasi dari perbesaran yang tinggi, depth of field yang besar, resolusi yang baik, kemampuan untuk mengetahui komposisi dan informasi kristalografi membuat SEM banyak digunakan untuk keperluan penelitian dan industri (Prasetyo, 2011). Adapun fungsi utama dari SEM antara lain dapat digunakan untuk mengetahui informasi-informasi mengenai:

1. Topografi, yaitu ciri-ciri permukaan dan teksturnya (kekerasan, sifat memantulkan cahaya, dan sebagainya).
2. Morfologi, yaitu bentuk dan ukuran dari partikel penyusun objek (kekuatan, cacat pada Integrated Circuit (IC) dan chip, dan sebagainya).
3. Komposisi, yaitu data kuantitatif unsur dan senyawa yang terkandung di dalam objek (titik lebur, kereaktifan, kekerasan, dan sebagainya).
4. Informasi kristalografi, yaitu informasi mengenai bagaimana susunan dari butir-butir di dalam objek yang diamati (konduktifitas, sifat elektrik, kekuatan, dan sebagainya).



Gambar 2.8 Prinsip Kerja SEM (Maranatha,2008)

Prinsip *Scanning Electron Microscopy* seperti yang dijelaskan pada Gambar 2.8 yaitu :

1. Sebuah pistol elektron memproduksi sinar elektron dan dipercepat dengan anoda.
2. Lensa magnetik memfokuskan elektron menuju ke sampel.
3. Sinar elektron yang terfokus memindai (scan) keseluruhan sampel dengan diarahkan oleh koil pemindai.
4. Ketika elektron mengenai sampel maka sampel akan mengeluarkan elektron baru yang akan diterima oleh detektor dan dikirim ke monitor.

BAB 3. METODE PENELITIAN

3.1 Jenis Penelitian

Penelitian ini termasuk jenis eksperimen untuk membuat biokomposit polimer dengan menggunakan PVA sebagai matriks dan serat batang kersen (*muntingia calabura*) sebagai penguat (*reinforce*) guna menekan penggunaan plastik dan meningkatkan sifat mekanik dan struktur mikro. Selanjutnya, dilakukan pengujian meliputi uji morfologi menggunakan *Scanning Electronic Microscopy* (SEM) dan pengujian tarik menggunakan *Universal Testing Machine*.

3.2 Waktu dan Tempat Penelitian

Penelitian ini dilakukan mulai bulan September 2019 sampai April 2020. Bertempat di Laboratorium Material Universitas Negeri Jember untuk proses pembuatan biokomposit polimer, untuk pengujian dilakukan di dua tempat yaitu di Laboratorium Fisika Modern, Fakultas Matematika dan Ilmu Pengetahuan Alam (MIPA), Universitas Jember untuk pengujian tarik dan uji Morfologi yang dilakukan di Laboratorium Biosains, Politeknik Negeri Jember.

3.3 Alat dan Bahan

3.3.1 Alat

Alat - alat yang digunakan pada penelitian ini antara lain :

1. Hot plate and stirrer

Spesifikasi hotplate stirrer yang digunakan adalah sebagai berikut:

Merk	:	Daihan scientific (model MSH-20D)
Ukuran plat	:	180 mm x 180 mm
Tegangan	:	230 V – 50/60 Hz
Daya	:	660 W

Temperatur maksimum :	380 °C
Puratan maksimum :	1500 rpm
Kapasitas maksimum :	20 liter (air)

2. Universal Oven Memert UN55

Universal oven UN55 dengan merk Memmert digunakan untuk mengeringkan bionanokomposit. Alat tersebut mempunyai spesifikasi sebagai berikut:

Merk	:	Universal Oven Memert UN55
Temperature operasi	:	Minimal 5 oC sampai 300 °C
Dimensi	:	400 mm x 400 mm x 330 mm
Beban maksimal	:	80 kg
Beban elektik	:	Berkisar 2000 W
Tegangan	:	230 V – 50/60 Hz

3. Relative Humidity Meter (RH Meter)

RH meter merupakan alat yang digunakan untuk mengukur kelembapan ruangan.

Merk	:	HTC-2
Jarak pengukuran suhu	:	- 50 °C sampai 70 °C
Resolusi suhu	:	0,1 °C
Jangkauan Pengukuran	:	10% sampai 99 %
Resolusi kelembapan	:	1%
Daya	:	1,5V AAA Baterai

4. Slow Grinding Fruit Juicer

Alat tersebut berfungsi untuk memisahkan antara ampas dengan suspensi pati. Alat ini mempunyai spesifikasi sebagai berikut:

Model	:	SKG-J-1001
Daya	:	150 W

Tegangan	:	220 V – 50/60 Hz
Waktu operasi	:	Kurang lebih 30 menit

5. Timbangan analitik

Timbangan analitik ini mempunyai spesifikasi sebagai berikut:

Merk	:	Kenko
Model	:	KK-LAB
Kepresisian	:	0,001 gram
Kapasitas penimbangan :	:	15 kg

6. Ice blender

Ice blender ini mempunyai spesifikasi sebagai berikut:

Merk	:	Philips
Model	:	HR2115
Kapasitas maksimum	:	2 liter
Konsumsi daya	:	600 Watt
Pengaturan kecepatan	:	5

7. Tupperware dan kawat

Cetakan kaca berfungsi sebagai wadah tempat penuangan larutan biokomposit untuk dilakukan proses pengeringan menggunakan oven. Cetakan yang digunakan mempunyai dimensi 150 mm x 80 mm x 20 mm berbahan kaca.

8. Gelas kimia dan spatula

Gelas kimia merk Pyrex dengan ukuran 100 ml digunakan sebagai wadah dalam proses pembuatan bionanokomposit. Sedangkan, spatula digunakan sebagai pengaduk.

3.3.2 Bahan

Adapun bahan yang digunakan dalam penelitian ini antara lain:

1. PVA (Polyvinyl Alcohol)
2. Serat batang kersen yang didapatkan dari daerah Kelurahan Jember Lor, Kecamatan Patrang, Kabupaten Jember, Jawa Timur (*Muntingia Calabura*)
3. Hydrochloric acid (HCl) pure analys dengan kandungan 37%, produksi PT. Smart Lab Indonesia
4. Sodium hydroxide (NaOH) pure analys, produksi PT. Smart Lab Indonesia
5. Gliserol dengan tipe teknis: densitas 1,225-1,260 g/mL; merek Brataco

3.4 Prosedur Penelitian

Langkah – langkah yang dilakukan pada penelitian ini adalah:

Preparasi Bahan :

1. Serat batang kersen (*muntingia calabura*) disiapkan kemudian diserut menjadi bagian kecil dan dihancurkan dengan menggunakan *grinding machine* sehingga membentuk serbuk.
2. Serbuk tersebut dilakukan proses alkalisasi menggunakan basa kuat menggunakan hydrogen peroksida dengan PH 9 dan konsentrasi hydrogen peroksida 3% selama 2 jam menggunakan *magnetic stirrer* yang menghasilkan kemurnian selulosa sebesar 95,11%.
3. Lalu dilakukan proses penetralan PH pada serat dengan menggunakan air suling.
4. Serbuk yang telah dinetralisir PHnya kemudian dilakukan proses *bleaching* dengan larutan *bleaching* untuk menghilangkan pigmen yang terkandung didalamnya supaya hasil akhir plastic biokomposit menjadi tak berpigmen (bening).
5. Lalu dilakukan kembali proses penetralan PH pada serat dengan menggunakan air suling.

6. Serbuk lalu dikeringkan dan dilakukan proses pengecilan ukuran partikel menggunakan *grinding machine*, lalu disaring menggunakan mesh 80.

Pembuatan Biokomposit :

1. 10gram PVA murni dilarutkan dalam 100 ml air menggunakan magnetic stirrer dengan suhu 80°C hingga tidak terlihat adanya gumpalan.
2. Masukkan serbuk serat (selulosa) dengan masing - masing konsentrasi 0%, 2%, 4%, 6% dan 8% fraksi massa.
3. Penambahan Plasticizer sebesar 2% dari fraksi massa diberikan pada masing - masing konsentrasi serat dalam *hot plate magnetic stirrer* selama 1 jam dengan kecepatan 875 rpm pada suhu 90 °C.
4. Lalu dilakukan proses pendinginan tertutup hingga mencapai suhu ruang.
5. Larutan yang terbentuk dituang kedalam cetakan kaca dan dikeringkan dengan menggunakan oven pada suhu 70 °C selama 12 jam.
6. Spesimen yang telah kering, kemudian disiapkan bentuk dan dimensinya sesuai astm untuk dilakukan pengujian.

3.5 Teknik Pengumpulan Data dan Analisa Data

3.5.1 Pengumpulan Data

1. Uji Tarik

Sampel yang akan diuji dibentuk sedemikian rupa sesuai standard kemudian diuji dengan menggunakan *universal testing machine*. Ketebalan sampel diukur pada 3 titik dan diuji tarik dengan cara kedua ujung dijepit mesin penguji tarik. Sehingga diperoleh panjang awal dan panjang akhir.

Menggunakan mesin uji tarik COM-TEN 95T Series, alat ini berfungsi untuk mengetahui kekuatan tarik suatu bahan. Alat uji tarik ini mempunyai spesifikasi sebagai berikut:

Merk	:	COM-TEN testing machine 95T Series 5K
Kapasitas maksimal	:	5000 pounds
Range kecepatan	:	0,06 – 3 inches/min

Load cell	:	TSB0050
Kontrol pengujian	:	Otomatis dengan com-touch total kontrol

2. Uji Morfologi (SEM)

Pengujian ini dilakukan pada sampel yang telah kering kemudian dilakukan proses pengujian sehingga dari data yang ditampilkan oleh SEM dapat ditarik kesimpulan mengenai sifat morfologi dari biokomposit tersebut.

Alat ini memiliki spesifikasi yaitu Hitachi seri 3400 N dengan perbesaran maksimal 1 juta kali. Pengujian ini digunakan untuk menentukan dispersi dari serat dalam matriks, sifat adesi antara serat dan matrix, dan ada/tidaknya rongga yang terbentuk.

3.5.2 Analisa Data

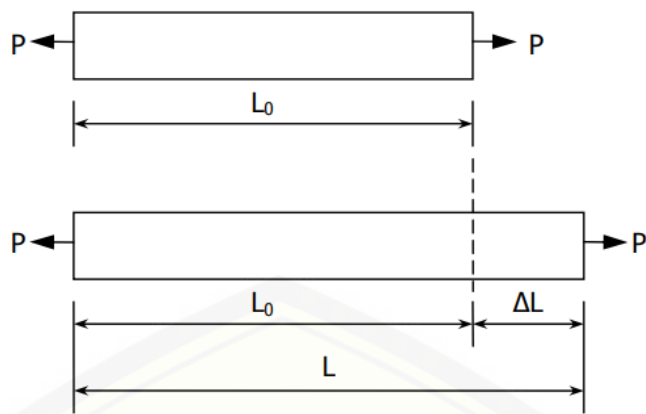
1. Uji Tarik

Hasil dari pengujian tarik didapatkan data panjang awal, panjang akhir, luas penampang, dan gaya kuat tarik. Tegangan yang dipergunakan pada kurva adalah tegangan membujur rata-rata dari pengujian tarik yang diperoleh dengan membagi beban dengan luas awal penampang melintang benda uji.:

$$\text{Tegangan } \sigma = \frac{P}{A_0} \quad \dots \dots \dots \dots \dots \dots \quad (3.1)$$

Regangan yang digunakan untuk kurva tegangan regangan rekayasa adalah regangan linier rata-rata, yang diperoleh dengan membagi perpanjangan panjang ukur (*gage length*) benda uji, ΔL , dengan panjang awalnya, L_0 .

$$\text{Regangan } \epsilon = \frac{\Delta L}{L_0} = \frac{L - L_0}{L_0} \quad \dots \dots \dots \dots \dots \dots \quad (3.2)$$



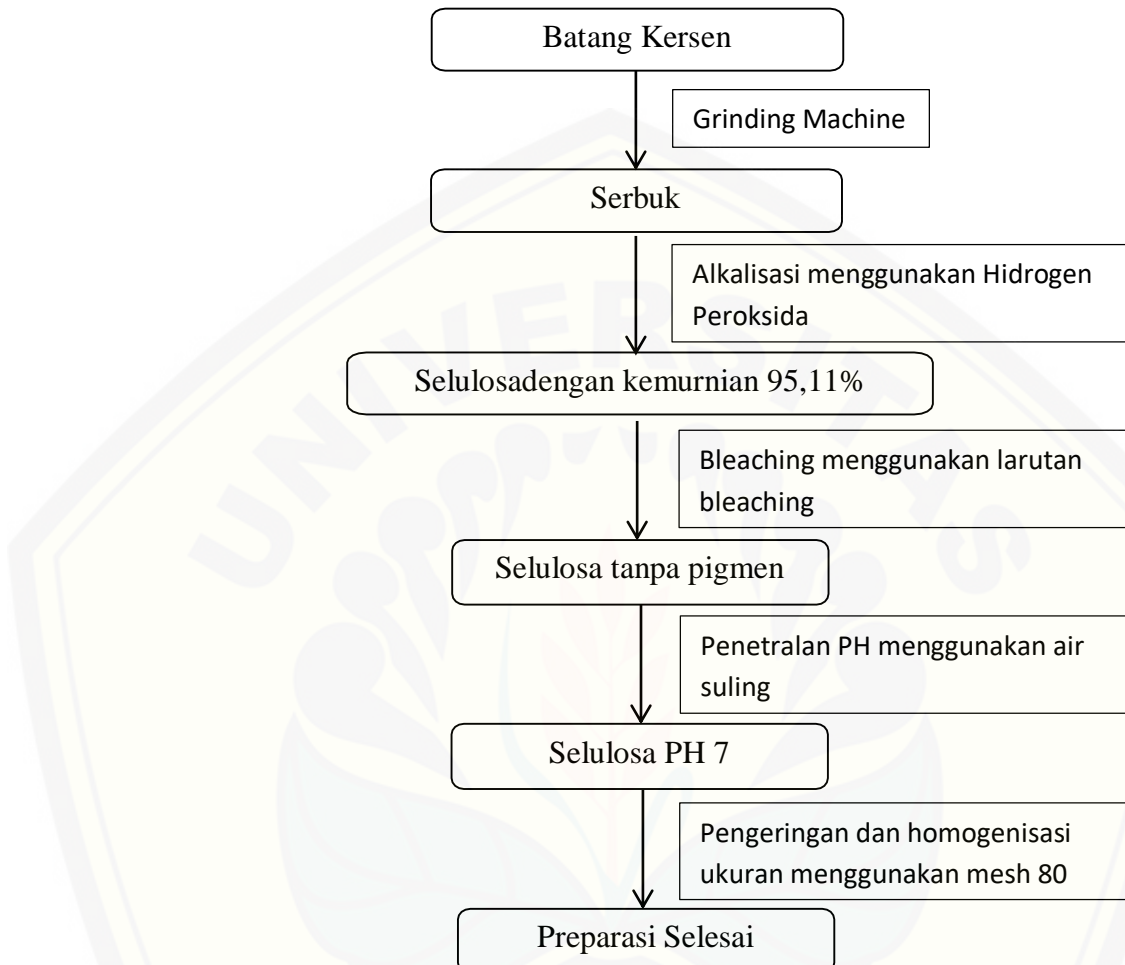
Gambar 3.1 Ilustrasi Pengaruh Beban Terhadap Penambahan Panjang

2. Uji Morfologi (SEM)

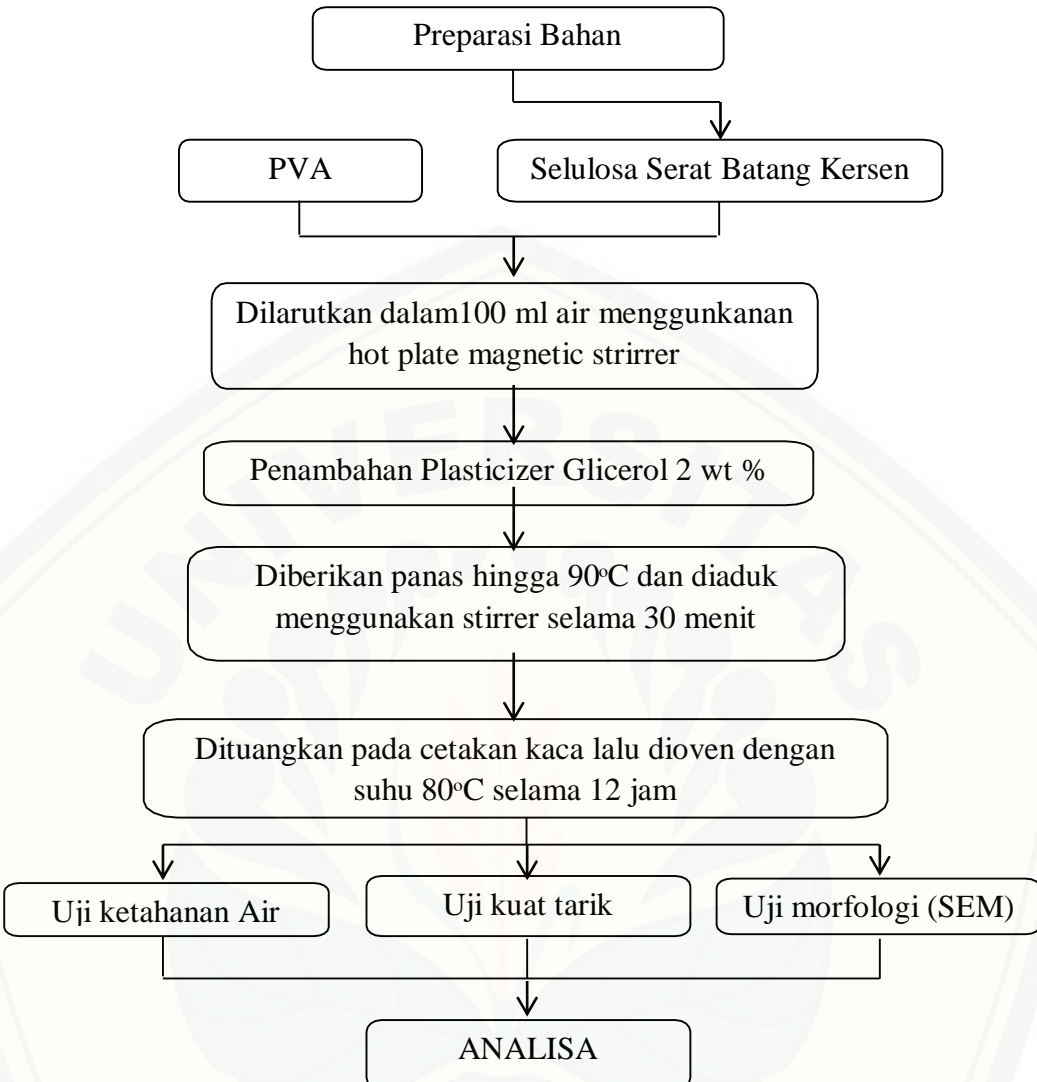
Dari data keluaran (*output*) yang diberikan oleh SEM, kita dapat melihat bagaimana struktur mikro, penyebaran serat, maupun kecacatan yang dapat terjadi selama pemrosesan. Dimana hal tersebut akan berpengaruh dengan sifat mekanis, *thermal* dan sifat ketahanan terhadap air.

3.6 Diagram Penelitian

3.6.1 Preparasi Bahan (Selulosa)



3.6.2 Pembuatan Biokomposit



BAB 5. PENUTUP

5.1 Kesimpulan

Dari hasil percobaan dan analisa diatas dapat diketahui bahwa modifikasi tersebut menunjukkan bahwa nilai kuat tarik komposit mengalami penurunan dengan bertambahnya fraksi volume serat komposit. Kekuatan tarik pada fraksi volume 0% adalah 6,8 MPa, pada 2% adalah 5,8 MPa, pada 4% adalah 2,5 MPa, pada 6% adalah 3,8 MPa dan pada 8% adalah 3 MPa. Nilai regangan tarik pada fraksi volume 0% 5,52%, pada Vf 2% 4,87%, pada Vf 4% 2,45%, pada Vf 6% 3,04% dan pada Vf 8% 2,75%. Nilai modulus elastisitas pada fraksi volume 0% adalah 0,81 MPa, pada Vf 2% 1,25 MPa, pada 4% Vf 1,3 MPa, pada 6% Vf 1,38 MPa dan pada Vf 8% 1,82 MPa.

Penurunan kekuatan tarik dan regangan tarik disebabkan oleh berbagai hal, antara lain: proses ekstraksi serat, perlakuan basa untuk pembersihan serat. Proses pengambilan serat dilakukan dengan penggilingan berulang-ulang untuk memperkecil ukuran serat. Perlakuan mekanis ini dapat merusak serat sehingga kekuatannya akan berkurang. Perlakuan alkaline bertujuan untuk membersihkan serat dari lapisan lignin yang membungkus serat atau kotoran yang menempel pada serat sehingga ikatan antara matriks dan serat lebih kuat. Jika terlalu lama atau konsentrasi larutan terlalu tinggi maka akan merusak sel serat utama sehingga serat menjadi rapuh dan kekuatannya akan berkurang. Ada juga proses bleaching yang bertujuan untuk menghilangkan pigmen warna agar plastik yang dihasilkan terlihat bening. Hal ini dapat menyebabkan serat menjadi lebih rapuh.

5.2 Saran

Saran yang dapat diberikan berdasarkan penelitian ini adalah sebagai berikut :

1. Dalam penelitian selanjutnya dapat dilakukan optimasi dalam upaya penghomogenan antara serat dengan matriks supaya dapat mengurangi kecacatan dan hasil yang didapatkan lebih optimal.

2. Perlu dilakukan penelitian lanjutan mengenai penambahan konsentrasi serat yang lebih tinggi karena dalam penelitian ini hanya dibatasi dengan konsentrasi serat sebesar 0%, 2%, 4%, 6% dan 8%.
3. Perlu diperhatikan diantaranya proses pengambilan serat dan perlakuan alkali untuk pembersihan serat. Proses pengambilan serat yang dilakukan dengan penggilingan yang berulang-ulang untuk memperkecil ukuran serat. Perlakuan mekanik ini dapat merusak serat sehingga kekuatannya akan berkurang. Lama perendaman alkali dapat meningkatkan kekuatan tarik, bending dan modulus elastisitasnya sampai batas tertentu kemudian menurun. Jika terlalu lama atau konsentrasi larutan terlalu tinggi akan merusak sel-sel serat utamanya sehingga serat menjadi rapuh dan kekuatannya akan berkurang.

DAFTAR PUSTAKA

- Agus Sujatno, Rohmad Salam. 2015. Studi Scanning Electron Microscopy (Sem) Untuk Karakterisasi Proses Oxidasi Paduan Zirkonium. Pusat Sains dan Teknologi Bahan Maju, PSTBM-BATAN
- Boon Khoon Tan, Yern Chee Ching. 2015. A Review of Natural Fiber Reinforced Poly(Vinyl Alcohol) Based Composites: Application and Opportunity. Department of Mechanical Engineering, Faculty of Engineering, University of Malaya, 50603 Kuala Lumpur, Malaysia
- Cleber Marcos Ribeiro Dias, Vanderley M. John. 2011. Performance of PVA and Cellulose Reinforced Fiber Cement in Different Brazilian Climates. Porto,Portugal.
- D. Mc Mullan. 2015. Scanning Electron Microscopy 1928–196. Cavendish Laboratory, University of Cambridge, Cambridge, U.K
- D Hikmawati, A R Rohmadanik, A P Putra. 2018. The Effect of Aloe vera Extract Variation in Electrospun Polyvinyl Alcohol (PVA)-Aloe vera-Based Nanofiber Membrane. Biomedical Engineering Study Program, Department of Physics, Faculty of Science and Technology, Universitas Airlangga, Surabaya, Indonesia
- Dewi Sriana S Pane, Idral Amri, Zultiniar. 2017. Pengaruh Konsentrasi Filler Serat Daun Nanas (Ananas comosus) dan PVA (Polivinil Alkohol) pada Sintesis Bioplastik dari Pati Biji Nangka. Teknik Kimia, Fakultas Teknik Universitas Riau Kampus Binawidya , Simpang Baru, Panam Pekanbaru
- E. S. Iriania, T. T. Irawadib, T. C. Sunartic. 2015. Effect of Corn Hominy and Polyvinyl Alcohol on Mechanical Properties of Cassava Starch-Baked Foam. Indonesian Center for Agricultural Postharvest Research and Development (ICAPRD), Indonesian Agency for Agricultural Research and Development, Bogor, West Java, Indonesia

- Falak O. Abas. 2016. Improvement Of Mechanical Properties Of Polyvinyl Alcohol By Addition Of Biomaterial (Okra Shell And Peel Peas) For Production Of Environmentally Friendly Products. Environmental Research Center / University of Technology
- Hamid Reza Pakravan, Masoud Latifi. 2014. Ductility Improvement Of Cementitious Composites Reinforced With Polyvinyl Alcohol Hybrid Fiber. Textile Engineering Department, Textile Excellence & Research Centers, Amirkabir University of Technology, Tehran, Iran
- Hayden K. Webb. 2003. Plastic Degradation and Its Environmental Implications with Special Reference to Poly(ethylene terephthalate). Faculty of Life and Social Sciences, Swinburne University of Technology, Hawthorn, Australia
- Ing Kong, Jack Ting Bick Shang. 2016. Study Of Properties Of Coconut Fibre Reinforced Poly (Vinyl Alcohol) As Biodegradable Composites. Department of Mechanical, Materials and Manufacturing Engineering, Faculty of Engineering, University of Nottingham, Malaysia Campus, Jalan Broga, Semenyih, Selangor, Malaysia.
- Kendri Wahyuningsih, Evi Savitri Iriani. 2016. Utilization of Cellulose from Pineapple Leaf Fibers as Nanofiller in Polyvinyl Alcohol-Based Film. Indonesian Center for Agricultural Postharvest Research and Development Jl. Tentara Pelajar No.12 Cimanggu-Bogor 16114, West Java, Indonesia
- Marcus Eriksen. 2014. Plastic Pollution in the World's Oceans: More than 5 Trillion Plastic Pieces Weighing over 250,000 Tons Afloat at Sea. Five Gyres Institute, Los Angeles, California, United States of America
- P. Adelina. 2018. Pemanfaatan Limbah Kayu Eukaliptus Sebagai Nanoserat Selulosa untuk Penguat Film Nanokomposit dengan Matriks Polivinil Alkohol. Institusi USU, Universitas Sumatera Utara

LAMPIRAN

LAMPIRAN 1 Dokumentasi Foto Penelitian



Batang Kersen



Proses Pengecilan Ukuran Serat



Hasil Serutan Batang Kersen



Proses Alkalisasi Serat



Proses Pelunakan Serat
Menggunakan Presto



Proses Bleaching Serat



Hasil Serat Setelah Dilakukan
Perlakuan



Proses Penimbangan Serat



Pembuatan Cetakan Kaca



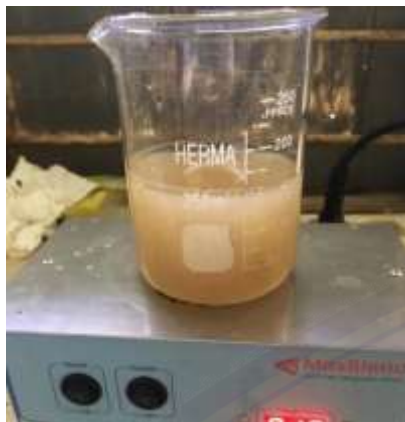
Proses Penambahan PVA Sesuai
Fraksi Volume Pada Magnetic
Stirrer



Proses Penimbangan PVA



Proses Penambahan Serat Sesuai
Fraksi Volume pada Magnetic
Stirrer



Proses Homogenisasi
Menggunakan Magnetic Stirrer



Hasil Komposit Setelah
Dikeringkan



Proses Penuangan Komposit Pada
Cetakan Kaca



Proses Pelepasan Komposit Dari
Cetakan



Proses Pengeringan Komposit
Menggunakan Oven



Proses Pemotongan Komposit
Sesuai ASTM Untuk Pengujian
Tarik



Pengelompokan Komposit Sesuai
Dengan Fraksi Volume Serat



Alat Pengujian; *Universal Testing
Machine*



Alat Pengujian; Mesin SEM TM-
3300

LAMPIRAN 2 Tabel Film Bioplastik Sebelum dan Sesudah Uji Tarik

Fraksi massa	Sebelum Uji Tarik	Sesudah Uji Tarik
0%		
2%		
4%		

6%



8%



LAMPIRAN 3 Pengolahan Data Hasil Uji Tarik Biokomposit dengan Matriks PVA dan Serat Selulosa Batang Kersen

0%		
NO	X	Y
1	675.6439819	0.51121212
2	486.0871887	0.520389189
3	745.4365845	0.563354763
4	753.4887695	0.740226961
5	678.5969849	0.663605807
RATA-RATA	667.8507019	0.599757768

2%		
NO	X	Y
1	739.4477539	0.701445331
2	716.5042114	0.765802232
3	526.9785767	0.738989095
4	546.9356079	0.869881904
5	577.852356	0.65987567
RATA-RATA	621.5437012	0.747198847

4%		
NO	X	Y
1	364.3843994	0.419635474
2	254.6615906	0.330638755
3	390.3201904	0.429726449
4	117.9973984	0.205679942
5	221.7383881	0.292486092
RATA-RATA	269.8203934	0.335633342

6%		
NO	X	Y
1	468.1235962	0.566498448
2	383.3509827	0.533458464
3	351.415802	0.300177168
4	322.4891968	0.553245536
5	480.1159973	0.650552325
RATA-RATA	401.099115	0.520786388

8%		
NO	X	Y
1	314.5123901	0.514679587
2	213.7593994	0.451079313
3	301.5865784	0.557997819
4	269.6201782	0.590428347
5	354.4060059	0.570057072
RATA-RATA	290.7769104	0.536848427

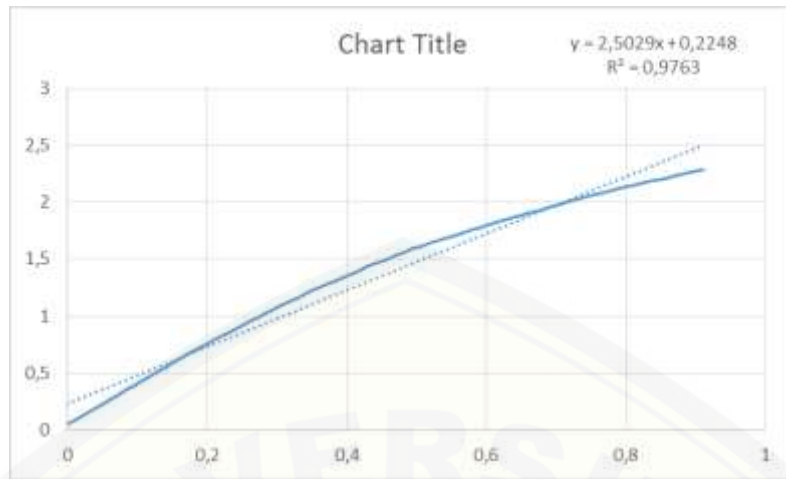
LAMPIRAN 4 Hasil Modulus Elastisitas Biokomposit dengan Matriks PVA dan Serat Selulosa Batang Kersen



- **Fraksi Massa Selulosa 0%**

<i>Regression Statistics</i>	
Multiple R	1
R Square	1
Adjusted R Square	1
	1,56E-
Standard Error	15
Observations	338

	<i>Coefficients</i>	<i>Standard</i>			<i>P-value</i>	<i>95%</i>	<i>95,0%</i>	<i>Lower</i>	<i>Upper</i>
		<i>Coefficients</i>	<i>Error</i>	<i>t Stat</i>					
Intercept	-0,00275	1,65E-16	-1,7E+13		0	-0,00275	-0,00275	-0,00275	-0,00275
X Variable 1	1,3773	8,7E-17	1,58E+16		0	1,3773	1,3773	1,3773	1,3773

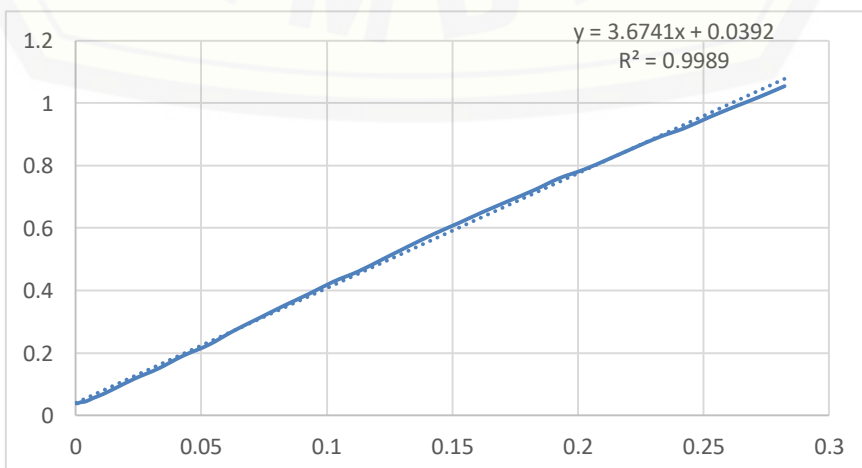


- Fraksi Massa Selulosa 2%

<i>Regression Statistics</i>	
Multiple R	1
R Square	1
Adjusted R Square	1
Standard Error	1,29E-15
Observations	562

	Standard							
	Coefficients	Error	t Stat	P-value				
Intercept	-0,000501	1,07E-16	-4,7E+13	0	-0,000501	-0,000501	-0,000501	-0,000501
X Variable 1	2,5029	3,36E-17	7,44E+16	0	2,5029	2,5029	2,5029	2,5029

- Fraksi Massa Selulosa 4%

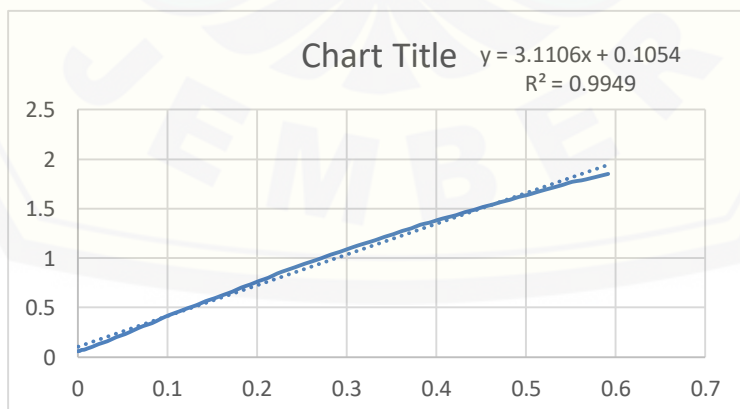


Regression Statistics	
Multiple R	1
R Square	1
Adjusted R Square	1
	1,79E-
Standard Error	15
Observations	317

ANOVA

	<i>df</i>	<i>SS</i>	<i>MS</i>	<i>F</i>	<i>Significance F</i>
Regression	1	3558,829	3558,829	1,12E+33	0
Residual	315	1,01E-27	3,19E-30		
Total	316	3558,829			

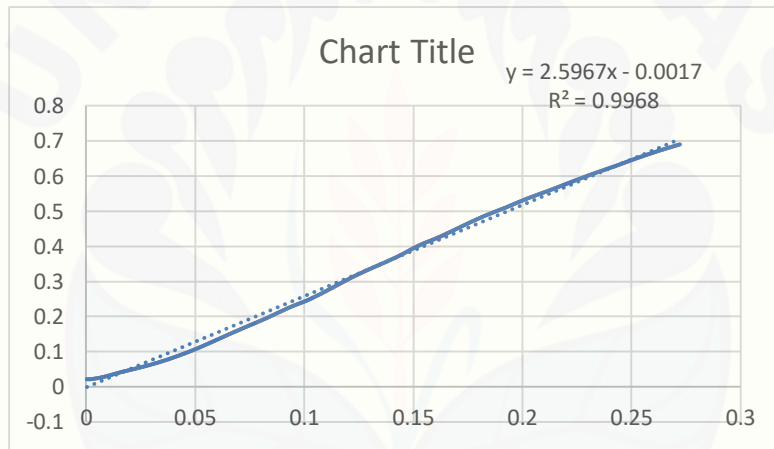
	Standard				<i>Lower</i>	<i>Upper</i>	<i>Lower</i>	<i>Upper</i>
	<i>Coefficients</i>	<i>Error</i>	<i>t Stat</i>	<i>P-value</i>	<i>95%</i>	<i>95%</i>	<i>95,0%</i>	<i>95,0%</i>
Intercept	-0,00735	1,96E-16	-3,8E+13	0	-0,00735	-0,00735	-0,00735	-0,00735
X Variable 1	3,6741	1,1E-16	3,34E+16	0	3,6741	3,6741	3,6741	3,6741



- Fraksi Massa Selulosa 6%

<i>Regression Statistics</i>	
Multiple R	1
R Square	1
Adjusted R Square	1
Standard Error	1,42E-14
Observations	680

	<i>Coefficients</i>	<i>Standard</i>		<i>P-value</i>	<i>Lower</i>	<i>Upper</i>	<i>Lower</i>	<i>Upper</i>
		<i>Error</i>	<i>t Stat</i>		95%	95%	95,0%	95,0%
Intercept	-0,00622	1,08E-15	-5,8E+12	0	-0,00622	-0,00622	-0,00622	-0,00622
X Variable 1	3,1106	2,78E-16	1,12E+16	0	3,1106	3,1106	3,1106	3,1106



- **Fraksi Massa Selulosa 8%**

<i>Regression Statistics</i>	
Multiple R	1
R Square	1
Adjusted R Square	1
Standard Error	1,85E-
Observations	118
<i>Standard</i>	
<i>Coefficients</i>	<i>Error</i>
Intercept	3,2E-17
X Variable 1	5,03E-17

	<i>Coefficients</i>	<i>Standard</i>		<i>P-value</i>	<i>Lower</i>	<i>Upper</i>	<i>Lower</i>	<i>Upper</i>
		<i>Error</i>	<i>t Stat</i>		95%	95%	95,0%	95,0%
Intercept	-0,00519	-1,6E+14	0	-0,00519	-0,00519	-0,00519	-0,00519	-0,00519
X Variable 1	2,5967	5,16E+16	0	2,5967	2,5967	2,5967	2,5967	2,5967

LAMPIRAN 5 Data Nilai Tegangan dan Regangan

Fraksi Volume 0% Serat

X = ε (%)	Y = σ (N/mm²)				
0.0218	0.006872	32.2122	0.107448	71.1156	0.204693
0.087	0.006872	33.2106	0.110572	72.1116	0.206359
0.211	0.006872	34.2068	0.113903	73.1112	0.208441
0.4066	0.00708	35.2052	0.116402	74.10699	0.210524
0.6948	0.007705	36.202	0.119317	75.106	0.211981
1.0944	0.009579	37.2008	0.121816	76.1018	0.213439
1.6382	0.011245	38.197	0.124732	77.101	0.214897
2.3574	0.013952	39.196	0.128063	78.097	0.217812
3.2858	0.015617	40.1924	0.129521	79.09579	0.219894
4.2822	0.018533	41.1908	0.133061	80.0922	0.221977
5.2804	0.021448	42.187	0.136393	81.0906	0.22385
6.277	0.024571	43.186	0.138475	82.087	0.225933
7.2752	0.028528	44.182	0.141182	83.08559	0.227182
8.2722	0.032484	45.1812	0.143264	84.0824	0.229265
9.2704	0.035816	46.177	0.145555	85.0806	0.23093
10.2668	0.038731	47.176	0.14847	86.0774	0.232805
11.2654	0.041647	48.1718	0.151177	87.0756	0.235511
12.262	0.045187	49.1708	0.153676	88.0726	0.236345
13.26	0.048518	50.1666	0.155966	89.0704	0.238218
14.2572	0.05185	51.1654	0.158465	90.06779	0.240301
15.255	0.054974	52.1616	0.161381	91.0656	0.241759
16.252	0.058305	53.16	0.16388	92.0628	0.243633
17.2502	0.061637	54.1568	0.16617	93.061	0.245507
18.2472	0.064969	55.1554	0.168669	94.058	0.246548
19.2452	0.067259	56.1516	0.170543	95.0556	0.248005
20.242	0.071007	57.1504	0.173666	96.0532	0.249671
21.24	0.074131	58.1468	0.175124	97.05099	0.251337
22.2372	0.077671	59.1452	0.178039	98.048	0.25342
23.2352	0.081211	60.1418	0.179913	99.0462	0.254877
24.2322	0.083918	61.1404	0.182204	100.0434	0.25696
25.2302	0.086833	62.137	0.184703	101.041	0.258001
26.2272	0.08954	63.1354	0.186785	102.0388	0.259458
27.2252	0.092455	64.1318	0.189076	103.0366	0.261333
28.222	0.096412	65.1302	0.191158	104.0338	0.262165
29.2204	0.098494	66.1268	0.194073	105.0314	0.263623
30.217	0.102034	67.1256	0.196156	106.0288	0.265705
31.2154	0.105158	68.1224	0.198446	107.0262	0.266538
		69.12099	0.199904	108.0232	0.268412
		70.1172	0.201778	109.0212	0.269453

110.0186	0.271328	152.911	0.320054	195.8038	0.350456
111.016	0.272785	153.9084	0.320471	196.8012	0.351289
112.0134	0.274451	154.9054	0.321096	197.7984	0.351706
113.0112	0.275909	155.9036	0.322137	198.7962	0.352331
114.0084	0.276533	156.9012	0.322345	199.7938	0.352331
115.0062	0.278199	157.8988	0.324219	200.7912	0.352747
116.0036	0.27924	158.8962	0.325468	201.7888	0.353372
117.0014	0.28049	159.894	0.325885	202.7866	0.354621
117.9988	0.282156	160.8914	0.326926	203.7844	0.354829
118.9962	0.283405	161.8886	0.328384	204.7816	0.355037
119.994	0.284655	162.8866	0.328384	205.7794	0.355246
120.9914	0.285904	163.8836	0.329425	206.7766	0.355662
121.9892	0.287154	164.8816	0.330049	207.7742	0.356495
122.9858	0.287778	165.8788	0.330882	208.7716	0.35712
123.9836	0.289236	166.8766	0.331715	209.769	0.357745
124.9806	0.290902	167.874	0.331923	210.7668	0.358369
125.9784	0.292151	168.8714	0.333173	211.7638	0.358577
126.9756	0.293817	169.869	0.334006	212.7618	0.358785
127.9734	0.294858	170.8666	0.334839	213.759	0.358994
128.9704	0.296316	171.8642	0.335464	214.7566	0.358994
129.9688	0.297565	172.8616	0.336296	215.7542	0.360035
130.9662	0.297773	173.859	0.337129	216.7518	0.36066
131.9636	0.299231	174.8566	0.337962	217.7492	0.361493
132.9608	0.299647	175.854	0.338587	218.7468	0.361909
133.9584	0.30048	176.8516	0.339628	219.7442	0.362326
134.956	0.30173	177.849	0.339836	220.742	0.362326
135.9536	0.302563	178.8466	0.340461	221.7396	0.362742
136.951	0.30402	179.844	0.340669	222.7372	0.36295
137.9486	0.305478	180.8416	0.34171	223.7344	0.363367
138.9458	0.306102	181.8386	0.342543	224.732	0.363783
139.9434	0.30756	182.8364	0.34296	225.7294	0.363783
140.9412	0.30881	183.8334	0.343376	226.727	0.364199
141.9384	0.309643	184.8306	0.344626	227.7246	0.364199
142.936	0.310684	185.8288	0.345042	228.7222	0.365033
143.9334	0.311517	186.8264	0.346292	229.7196	0.365657
144.9312	0.312766	187.8238	0.3465	230.7172	0.366907
145.9286	0.313599	188.8214	0.347124	231.7144	0.367115
146.926	0.314224	189.8186	0.347541	232.7124	0.367115
147.9236	0.315473	190.8162	0.34879	233.71	0.367323
148.921	0.316098	191.8138	0.348999	234.7072	0.367323
149.9186	0.317347	192.8116	0.349623	235.705	0.368364
150.9158	0.318805	193.8084	0.349832	236.7024	0.369197
151.9136	0.319221	194.8066	0.350456	237.6998	0.369197

238.6976	0.369197	281.619	0.383565	324.5122	0.3971
239.6946	0.369406	282.617	0.383982	325.5096	0.397309
240.7222	0.369406	283.6138	0.383982	326.5074	0.398766
241.7194	0.37003	284.612	0.383982	327.5046	0.398766
242.7174	0.370655	285.6086	0.383982	328.5022	0.398766
243.7146	0.370655	286.607	0.384398	329.4994	0.398975
244.7126	0.371904	287.6036	0.385023	330.4972	0.399183
245.7096	0.372113	288.602	0.385023	331.4946	0.399183
246.7076	0.372113	289.5988	0.385023	332.4918	0.400016
247.7046	0.372113	290.5972	0.386064	333.4894	0.400432
248.7026	0.372737	291.5938	0.386272	334.4874	0.400849
249.6996	0.37357	292.5918	0.386897	335.4846	0.401265
250.6978	0.373778	293.589	0.386897	336.4822	0.401265
251.6946	0.373986	294.5872	0.387314	337.4796	0.401265
252.6922	0.373986	295.5842	0.387522	338.4776	0.401682
253.6894	0.373986	296.5822	0.387938	339.4746	0.40189
254.6874	0.374403	297.579	0.387938	340.4722	0.402931
255.6846	0.37482	298.5772	0.387938	341.4692	0.403348
256.6822	0.375652	299.574	0.387938	342.467	0.403764
257.6794	0.375861	300.5722	0.388355	343.474	0.403764
258.6774	0.375861	301.569	0.388355	344.4724	0.403764
259.675	0.376277	302.5668	0.390229	345.469	0.40418
260.6724	0.376486	303.564	0.390229	346.4672	0.40418
261.6696	0.37711	304.5626	0.390229	347.4638	0.404389
262.6674	0.377318	305.5594	0.390437	348.4622	0.404805
263.6644	0.377735	306.5574	0.39127	349.4588	0.405013
264.6622	0.378151	307.5542	0.39127	350.457	0.405221
265.66	0.378359	308.5524	0.391478	351.454	0.405638
266.6572	0.378568	309.5492	0.391686	352.4522	0.406055
267.6544	0.378568	310.5476	0.391895	353.4492	0.406679
268.6522	0.378984	311.5442	0.392519	354.4472	0.407096
269.649	0.379193	312.5424	0.392519	355.4444	0.407096
270.6472	0.380234	313.5392	0.393561	356.442	0.407096
271.644	0.380442	314.537	0.393561	357.4394	0.40772
272.6426	0.380442	315.534	0.393977	358.437	0.40772
273.639	0.380858	316.5326	0.393977	359.4348	0.40772
274.6378	0.382108	317.5294	0.393977	360.432	0.408345
275.634	0.382108	318.5274	0.395226	361.4292	0.408762
276.632	0.382316	319.524	0.395226	362.4266	0.408762
277.6288	0.382524	320.5222	0.396059	363.424	0.40897
278.627	0.382524	321.5194	0.396059	364.4218	0.409803
279.6242	0.382941	322.5172	0.396268	365.4196	0.409803
280.622	0.383149	323.5146	0.396684	366.4168	0.410011

367.4146	0.410428	410.3078	0.420214	453.2008	0.433541
368.412	0.410428	411.3052	0.420631	454.1968	0.434583
369.4092	0.410428	412.3032	0.421047	455.1954	0.434999
370.4072	0.410636	413.3004	0.421255	456.192	0.43604
371.404	0.410636	414.2976	0.421464	457.1908	0.436665
372.402	0.41126	415.295	0.421672	458.1872	0.436665
373.3992	0.41126	416.2924	0.421672	459.1858	0.436873
374.3974	0.41126	417.29	0.422505	460.1822	0.43729
375.3942	0.411677	418.2874	0.422505	461.1808	0.43729
376.3922	0.411677	419.2852	0.42313	462.177	0.437498
377.3894	0.411677	420.2824	0.423546	463.1756	0.438122
378.3876	0.412301	421.28	0.423546	464.172	0.438122
379.3842	0.41251	422.2776	0.423754	465.171	0.438955
380.3824	0.412718	423.2752	0.424171	466.1668	0.438955
381.3794	0.412926	424.272	0.424795	467.1658	0.438955
382.3776	0.413343	425.2704	0.426253	468.162	0.439372
383.3746	0.413343	426.2676	0.426253	469.1614	0.440205
384.3724	0.414384	427.2656	0.426253	470.1568	0.441246
385.3698	0.414384	428.2624	0.426669	471.156	0.441662
386.3676	0.414384	429.2604	0.426669	472.1516	0.441662
387.3646	0.4148	430.2574	0.427086	473.1506	0.441662
388.363	0.4148	431.2556	0.427294	474.1468	0.442704
389.3598	0.4148	432.2522	0.427711	475.1456	0.442704
390.3574	0.415008	433.2504	0.427711	476.1414	0.443328
391.3548	0.415217	434.2474	0.428335	477.1406	0.443745
392.3528	0.415633	435.2454	0.428335	478.137	0.443745
393.3502	0.415842	436.2416	0.428335	479.1352	0.443745
394.3478	0.415842	437.2404	0.42896	480.1322	0.443953
395.345	0.416674	438.237	0.429168	481.1304	0.444994
396.3428	0.417507	439.2356	0.429376	482.1266	0.445827
397.3404	0.417507	440.2322	0.429793	483.1258	0.445827
398.3382	0.417507	441.2304	0.430001	484.122	0.445827
399.3356	0.41834	442.2272	0.431459	485.1204	0.447076
400.3328	0.418757	443.2254	0.431667	486.1174	0.447076
401.3304	0.418757	444.2222	0.431667	487.1158	0.447285
402.328	0.418757	445.2204	0.431667	488.1122	0.448534
403.3252	0.418757	446.2172	0.431667	489.1106	0.44895
404.323	0.419381	447.2154	0.431667	490.1074	0.449159
405.3204	0.41959	448.2118	0.4325	491.1056	0.449784
406.3178	0.41959	449.2104	0.432917	492.1024	0.449784
407.3152	0.41959	450.2066	0.433333	493.101	0.449784
408.3134	0.420006	451.2056	0.433541	494.0974	0.4502
409.3104	0.420006	452.2022	0.433541	495.0956	0.4502

496.0924	0.4502	538.986	0.4679	581.879	0.484767
497.0908	0.451241	539.9838	0.468525	582.8768	0.484767
498.0872	0.451658	540.981	0.468941	583.8738	0.484767
499.0862	0.452074	541.9786	0.469566	584.8714	0.484767
500.0824	0.452699	542.976	0.47019	585.8688	0.485391
501.0806	0.452907	543.9738	0.47019	586.8664	0.485808
502.0772	0.453323	544.9708	0.47019	587.8638	0.486016
503.0758	0.454156	545.9688	0.471856	588.8614	0.486432
504.0726	0.454989	546.966	0.471856	589.8588	0.486641
505.0706	0.455197	547.9638	0.472897	590.8566	0.486641
506.0676	0.455822	548.961	0.473314	591.854	0.487682
507.0658	0.455822	549.9588	0.473314	592.8514	0.488515
508.063	0.455822	550.956	0.473314	593.849	0.488515
509.0606	0.456447	551.9538	0.473939	594.8464	0.488723
510.0578	0.456655	552.9508	0.473939	595.8442	0.489139
511.0556	0.457072	553.9484	0.473939	596.8416	0.489348
512.0532	0.457488	554.9456	0.474355	597.8392	0.49018
513.051	0.457904	555.9436	0.474355	598.8364	0.49018
514.0484	0.458737	556.9414	0.474563	599.834	0.49018
515.0456	0.461028	557.9388	0.475396	600.8314	0.491014
516.0436	0.46082	558.9358	0.475396	601.8292	0.491014
517.0408	0.46082	559.9336	0.476229	602.8264	0.491222
518.0382	0.46082	560.931	0.476229	603.8238	0.491222
519.036	0.46082	561.9284	0.47727	604.8206	0.492055
520.0334	0.46082	562.9258	0.47727	605.8186	0.492888
521.0308	0.461653	563.9234	0.477478	606.8162	0.493721
522.0286	0.461861	564.921	0.478311	607.8138	0.493721
523.0258	0.462486	565.9188	0.478311	608.8112	0.493721
524.0236	0.462486	566.916	0.479144	609.8086	0.494345
525.0206	0.462486	567.9138	0.479144	610.8066	0.494553
526.0186	0.462694	568.911	0.480394	611.8036	0.49497
527.0158	0.46311	569.9088	0.480394	612.8012	0.495595
528.0134	0.464152	570.9062	0.480394	613.799	0.495595
529.0108	0.46436	571.9036	0.480602	614.7966	0.495595
530.0086	0.464776	572.9014	0.481019	615.7938	0.495595
531.0058	0.465609	573.8986	0.481227	616.7912	0.496219
532.0036	0.465817	574.8956	0.481851	617.7886	0.496428
533.0006	0.466442	575.8936	0.482476	618.7864	0.497052
533.9984	0.466442	576.8912	0.482476	619.7836	0.497677
534.9956	0.466859	577.8888	0.483517	620.7814	0.498094
535.9934	0.467067	578.8864	0.483725	621.779	0.498094
536.991	0.467691	579.8838	0.483725	622.7766	0.498302
537.9888	0.4679	580.8816	0.48435	623.7744	0.498718

624.7714	0.499343
625.7696	0.499759
626.7668	0.500176
627.764	0.500384
628.7616	0.500384
629.759	0.500592
630.7566	0.501009
631.7542	0.501633
632.7516	0.50205
633.7492	0.50205
634.747	0.50205
635.7444	0.502883
636.742	0.503299
637.7392	0.503924
638.7368	0.504132
639.734	0.504132
640.7322	0.504549
641.7294	0.504549

642.727	0.504549
643.7242	0.504965
644.722	0.505174
645.7194	0.506215
646.717	0.506215
647.7144	0.506215
648.712	0.506215
649.7096	0.506423
650.7072	0.506839
651.7046	0.507672
652.7022	0.507672
653.6998	0.508505
654.6972	0.508505
655.6946	0.508922
656.6922	0.509338
657.6896	0.509338
658.6872	0.509338
659.6844	0.509338

660.682	0.509338
661.6796	0.509338
662.677	0.509338
663.6744	0.510379
664.6728	0.510379
665.6694	0.510379
666.667	0.510379
667.6644	0.510379
668.6618	0.510588
669.6592	0.511004
670.657	0.511212
671.6542	0.511212
672.6522	0.511212
673.6486	0.511212
674.647	0.511212
675.644	0.511212

Fraksi Volume

Selulosa 2%

Fraksi volume 2%	
X = ε (%)	Y = σ (N/mm²)
0.022	0.006633
0.088	0.006633
0.2114	0.007236
0.4074	0.008241
0.6944	0.009848
1.097	0.011657
1.64	0.014873
2.36	0.01829
3.2884	0.022511
4.2858	0.028339
5.2826	0.033565
6.2808	0.03859
7.2774	0.043011
8.275599	0.047835
9.2722	0.053463
10.2706	0.058286
11.2672	0.06311
12.2652	0.068135
13.2622	0.072355
14.2602	0.07738
15.2572	0.082606
16.2556	0.087429
17.2522	0.091851
18.2504	0.096876
19.2472	0.101096
20.2454	0.104915
21.2424	0.109337
22.2406	0.113558
23.2372	0.118382
24.2356	0.122602
25.2324	0.126823
26.2304	0.131446
27.2272	0.135264
28.2252	0.139887
29.2222	0.144108
30.221	0.148731
31.2176	0.15275

32.2152	0.156569
33.2124	0.160589
34.2102	0.16481
35.2074	0.168829
36.2058	0.172648
37.2028	0.176065
38.2008	0.180085
39.198	0.183702
40.196	0.186717
41.1926	0.190536
42.1908	0.194355
43.1874	0.197973
44.1854	0.201389
45.1824	0.205409
46.1808	0.208625
47.1776	0.212644
48.1758	0.216262
49.1728	0.219478
50.1706	0.223297
51.1678	0.226312
52.166	0.229527
53.1628	0.23214
54.1608	0.235356
55.1578	0.238572
56.1556	0.24219
57.153	0.244803
58.1506	0.248018
59.1476	0.251234
60.1458	0.254048
61.143	0.257264
62.1404	0.260278
63.1378	0.263695
64.1356	0.265906
65.133	0.269122
66.1302	0.271735
67.1278	0.274548
68.1254	0.277563
69.123	0.279171
70.1208	0.282387
71.1178	0.285
72.1158	0.287412
73.1124	0.291432
74.1106	0.293642

75.1074	0.296054
76.1058	0.299069
77.1026	0.30128
78.1004	0.303692
79.0978	0.306104
80.0954	0.308515
81.0928	0.31153
82.0904	0.31354
83.08739	0.31555
84.08559	0.318364
85.0826	0.319771
86.0806	0.322384
87.0778	0.324795
88.0754	0.327609
89.0726	0.329217
90.0704	0.331629
91.068	0.334644
92.0654	0.336051
93.0628	0.338463
94.06039	0.340874
95.058	0.343085
96.056	0.344693
97.0532	0.346502
98.0506	0.347708
99.04819	0.349517
100.0456	0.351728
101.043	0.353536
102.0406	0.35635
103.038	0.357958
104.036	0.359767
105.033	0.361375
106.031	0.363184
107.028	0.365194
108.0264	0.367204
109.0234	0.36841
110.0216	0.370218
111.0186	0.372429
112.0164	0.373233
113.0136	0.374841
114.0116	0.376851
115.0088	0.378459
116.0066	0.380268
117.0038	0.381474

118.0016	0.382881	160.8932	0.436343	203.7856	0.469908
118.998	0.384891	161.891	0.436946	204.7842	0.47031
119.996	0.386699	162.8886	0.43775	205.7806	0.471315
120.9932	0.388307	163.8862	0.439157	206.779	0.471918
121.9914	0.389915	164.8836	0.43976	207.7754	0.471918
122.9882	0.390518	165.8808	0.441368	208.7742	0.473124
123.9864	0.392126	166.8788	0.442172	209.7706	0.474129
124.9834	0.393734	167.8758	0.442775	210.7688	0.474531
125.9814	0.394739	168.874	0.443579	211.7652	0.474933
126.9788	0.397151	169.8708	0.445388	212.7646	0.475737
127.9766	0.398759	170.869	0.44579	213.7604	0.476742
128.9732	0.39896	171.866	0.446192	214.7596	0.476742
129.9718	0.400165	172.8638	0.447397	215.7556	0.477546
130.9688	0.401773	173.8608	0.448001	216.754	0.477746
131.9664	0.403381	174.859	0.449005	217.7508	0.478752
132.9636	0.403783	175.8558	0.449206	218.7492	0.478953
133.962	0.405793	176.854	0.450814	219.746	0.478953
134.9584	0.407401	177.8508	0.451819	220.7444	0.479354
135.956	0.408808	178.8488	0.452422	221.7406	0.480561
136.9534	0.409813	179.8456	0.453829	222.7394	0.480762
137.9516	0.411421	180.8438	0.454633	223.7356	0.481364
138.9484	0.411823	181.8406	0.455437	224.7346	0.48257
139.9464	0.413431	182.839	0.455839	225.7308	0.483173
140.9434	0.414436	183.8358	0.456643	226.7292	0.484379
141.9414	0.416044	184.8338	0.457849	227.726	0.484379
142.9386	0.417451	185.8306	0.458452	228.7244	0.484982
143.9362	0.417852	186.8284	0.458854	229.7212	0.485183
144.9336	0.419259	187.8262	0.459457	230.7192	0.485585
145.9312	0.420264	188.8238	0.459457	231.716	0.486389
146.9284	0.421872	189.8202	0.460462	232.7142	0.48659
147.9262	0.423078	190.819	0.460864	233.7112	0.486791
148.9234	0.423882	191.8158	0.461869	234.7092	0.487394
149.9208	0.424485	192.814	0.462673	235.7062	0.488198
150.9182	0.426696	193.8104	0.463075	236.7044	0.488801
151.916	0.4275	194.8094	0.46408	237.7014	0.489806
152.9134	0.42951	195.8056	0.464683	238.6996	0.490409
153.9112	0.430314	196.804	0.465486	239.6966	0.491012
154.9086	0.430515	197.8006	0.466291	240.6942	0.491414
155.9064	0.43152	198.7988	0.467094	241.6916	0.492419
156.9034	0.432725	199.7956	0.468099	242.69	0.492419
157.901	0.433127	200.794	0.468501	243.6866	0.493223
158.8986	0.434132	201.7906	0.468903	244.6848	0.493625
159.8964	0.435137	202.7894	0.469104	245.6818	0.493826

246.6798	0.494429	289.572	0.514728	332.4648	0.535229
247.6772	0.495032	290.5696	0.514929	333.4624	0.53543
248.6752	0.495032	291.5672	0.515733	334.4592	0.535832
249.672	0.495233	292.5644	0.516336	335.4576	0.536033
250.67	0.495835	293.562	0.516537	336.4548	0.536033
251.6672	0.496036	294.5594	0.516537	337.4522	0.536435
252.6648	0.496438	295.5572	0.516738	338.4498	0.536435
253.662	0.497042	296.5544	0.517542	339.4474	0.537038
254.66	0.497845	297.5524	0.518346	340.4448	0.537641
255.6574	0.498649	298.5496	0.518949	341.4424	0.537641
256.6548	0.499252	299.5472	0.519552	342.4394	0.538244
257.6524	0.499453	300.5438	0.519954	343.438	0.538847
258.6498	0.501061	301.5422	0.520758	344.4346	0.539048
259.6472	0.501664	302.5394	0.521562	345.4324	0.539651
260.6448	0.501664	303.5372	0.521964	346.43	0.540254
261.6424	0.501865	304.5348	0.522969	347.4276	0.540856
262.6398	0.502267	305.5322	0.522969	348.4248	0.541058
263.6376	0.502468	306.53	0.522969	349.4226	0.54146
264.6348	0.50287	307.5274	0.52317	350.4198	0.541661
265.632	0.50287	308.5252	0.52317	351.4176	0.542665
266.6294	0.503473	309.5224	0.523572	352.4148	0.543067
267.627	0.504076	310.5198	0.523974	353.4126	0.543269
268.6244	0.504277	311.5174	0.524979	354.4098	0.544474
269.622	0.505483	312.515	0.524979	355.4074	0.544474
270.6196	0.506689	313.5122	0.525783	356.4046	0.544876
271.6168	0.50689	314.5102	0.525783	357.4024	0.544876
272.6144	0.507091	315.5074	0.526385	358.4	0.545077
273.612	0.507694	316.5052	0.527391	359.3976	0.545479
274.6092	0.508096	317.5026	0.527793	360.3948	0.546886
275.607	0.508297	318.4998	0.527793	361.3928	0.547288
276.6044	0.508699	319.4976	0.529199	362.3898	0.547489
277.602	0.509302	320.4952	0.5294	363.3878	0.54769
278.5996	0.509704	321.4928	0.529802	364.385	0.547891
279.597	0.509704	322.4898	0.530003	365.383	0.548494
280.5944	0.509905	323.4876	0.530204	366.3804	0.548896
281.5918	0.510306	324.485	0.530807	367.3778	0.549499
282.5892	0.51091	325.4826	0.53141	368.3752	0.550102
283.587	0.511312	326.48	0.53141	369.3728	0.550102
284.5844	0.511914	327.4776	0.531611	370.3702	0.550102
285.582	0.512718	328.4748	0.532817	371.368	0.550504
286.5796	0.513321	329.4724	0.533219	372.3656	0.550705
287.577	0.513924	330.4692	0.533219	373.3626	0.55171
288.5748	0.514125	331.468	0.533822	374.3602	0.551911

375.3582	0.553117	418.2504	0.571206	461.1428	0.589294
376.3554	0.553318	419.2476	0.572211	462.141	0.589294
377.3534	0.553318	420.2458	0.573215	463.1378	0.5903
378.3508	0.553318	421.2424	0.573416	464.136	0.591103
379.3484	0.554524	422.2402	0.573416	465.1328	0.591304
380.3458	0.55573	423.2376	0.57402	466.1308	0.59251
381.3432	0.55573	424.2356	0.574422	467.1278	0.59251
382.3406	0.55573	425.2324	0.574823	468.1258	0.592912
383.3382	0.55573	426.2306	0.575225	469.123	0.593716
384.3356	0.55573	427.2274	0.575426	470.1212	0.59452
385.333	0.556132	428.2252	0.575627	471.1176	0.59452
386.3306	0.556735	429.2224	0.575828	472.1158	0.594721
387.328	0.557337	430.2204	0.576231	473.1128	0.595123
388.3258	0.558744	431.2176	0.576431	474.1108	0.595123
389.3234	0.558744	432.2152	0.576632	475.108	0.595726
390.3214	0.558744	433.2132	0.577436	476.1056	0.595927
391.3186	0.559951	434.211	0.577838	477.1026	0.596731
392.3158	0.560955	435.2076	0.578039	478.1002	0.597133
393.313	0.561558	436.2058	0.578843	479.0976	0.597133
394.3108	0.56196	437.2024	0.579044	480.096	0.597133
395.308	0.562362	438.2004	0.579848	481.093	0.598138
396.3058	0.562362	439.1976	0.579848	482.0906	0.598942
397.3032	0.562764	440.1958	0.581255	483.0878	0.600148
398.3008	0.562764	441.1924	0.581255	484.0856	0.60055
399.298	0.562764	442.191	0.581255	485.0828	0.600952
400.2958	0.563166	443.1876	0.582059	486.0798	0.601354
401.293	0.563769	444.1858	0.582461	487.0776	0.601354
402.2906	0.564171	445.1828	0.582461	488.0752	0.601555
403.2882	0.564573	446.1808	0.583265	489.073	0.601555
404.2858	0.564975	447.178	0.583466	490.0706	0.602158
405.283	0.565176	448.1756	0.583868	491.0676	0.602359
406.2812	0.56598	449.1726	0.584873	492.0656	0.603364
407.278	0.566985	450.1712	0.585275	493.0624	0.603364
408.2762	0.567387	451.1682	0.586079	494.0608	0.603565
409.2732	0.56799	452.166	0.586883	495.0578	0.603765
410.2714	0.56799	453.163	0.587486	496.0556	0.604771
411.2676	0.568995	454.161	0.587486	497.0528	0.605976
412.2654	0.569799	455.1582	0.587687	498.0508	0.606177
413.2624	0.569799	456.1558	0.588491	499.048	0.60658
414.2606	0.569799	457.153	0.588491	500.0456	0.60658
415.2574	0.569799	458.1506	0.588893	501.0432	0.606781
416.2556	0.570402	459.1478	0.588893	502.0408	0.607986
417.2524	0.570603	460.1458	0.588893	503.038	0.608388

504.0356	0.609192	546.9288	0.626879	589.8204	0.646576
505.033	0.609192	547.927	0.62708	590.8188	0.64738
506.0306	0.609192	548.9238	0.627482	591.8154	0.647983
507.028	0.609393	549.922	0.627683	592.8142	0.648184
508.0258	0.609795	550.9186	0.627884	593.8102	0.648787
509.023	0.610599	551.9168	0.627884	594.8088	0.648787
510.021	0.611202	552.9138	0.627884	595.8054	0.649189
511.0182	0.612006	553.9118	0.628688	596.804	0.649591
512.0162	0.612207	554.9092	0.629894	597.8006	0.649993
513.0132	0.612408	555.9066	0.630899	598.7992	0.650194
514.0112	0.613413	556.904	0.631502	599.7952	0.6514
515.0082	0.614016	557.9014	0.631703	600.794	0.652003
516.006	0.614619	558.8988	0.632105	601.7902	0.652404
517.0032	0.614619	559.8962	0.632708	602.7896	0.653611
518.0012	0.614619	560.8942	0.632708	603.7856	0.653611
518.998	0.61482	561.8912	0.633914	604.7844	0.653812
519.9964	0.61482	562.8886	0.634115	605.7806	0.654615
520.9932	0.615423	563.886	0.634316	606.779	0.655017
521.991	0.615825	564.8838	0.634316	607.7754	0.655419
522.9884	0.615825	565.8812	0.634517	608.7744	0.656022
523.9864	0.616428	566.8786	0.634718	609.7704	0.656223
524.9834	0.617031	567.8762	0.636124	610.7688	0.656223
525.9814	0.617433	568.8738	0.636526	611.7654	0.656223
526.9784	0.618237	569.8708	0.636929	612.7642	0.656424
527.9768	0.61884	570.8686	0.637532	613.7602	0.657027
528.9734	0.619443	571.8662	0.637933	614.7592	0.657429
529.9712	0.619644	572.864	0.638536	615.7554	0.658434
530.9686	0.620045	573.861	0.639139	616.7538	0.659439
531.9662	0.62085	574.859	0.639541	617.7506	0.65964
532.9636	0.62085	575.856	0.640144	618.749	0.660042
533.9616	0.621051	576.8538	0.640747	619.7456	0.661248
534.9592	0.621252	577.8508	0.641149	620.7438	0.661449
535.957	0.621654	578.849	0.641149	621.7406	0.66165
536.9538	0.621854	579.846	0.64135	622.7392	0.66165
537.9522	0.622055	580.844	0.64135	623.736	0.66165
538.9486	0.622256	581.841	0.642154	624.7342	0.66165
539.9468	0.623061	582.8388	0.642556	625.7308	0.662655
540.9438	0.623261	583.8362	0.64336	626.7288	0.662856
541.942	0.624266	584.834	0.643561	627.7258	0.663459
542.9388	0.625673	585.8306	0.643963	628.7242	0.664464
543.937	0.626075	586.8288	0.64537	629.721	0.664866
544.9338	0.626075	587.8256	0.645772	630.719	0.664866
545.9318	0.626075	588.824	0.646375	631.716	0.665268

632.7146	0.666474
633.7108	0.666474
634.7098	0.666675
635.706	0.666675
636.7046	0.667278
637.7014	0.66768
638.6996	0.668283
639.6964	0.668283
640.6944	0.668283
641.6914	0.668885
642.6894	0.66969
643.6864	0.670292
644.6846	0.670493
645.6816	0.670895
646.6796	0.6719
647.6762	0.672503
648.6742	0.673307
649.6716	0.673709
650.6692	0.673709
651.6668	0.67391
652.6642	0.67592
653.662	0.67592
654.659	0.67592
655.657	0.67592
656.6542	0.67592
657.6518	0.676121
658.6494	0.676925
659.647	0.678131
660.6442	0.678131
661.6418	0.678734
662.6392	0.679337
663.637	0.679739
664.6342	0.680543
665.6318	0.680744
666.6292	0.680945
667.627	0.680945
668.6244	0.680945
669.6218	0.681347
670.6194	0.681347
671.6168	0.681548
672.6142	0.68195
673.612	0.682151
674.6094	0.682553
675.607	0.682955
676.6044	0.683558
677.602	0.684562
678.5996	0.685769
679.597	0.685969
680.5942	0.685969
681.592	0.686371
682.5894	0.686572
683.5872	0.686572
684.5844	0.686572
685.5824	0.686773
686.5792	0.687376
687.5772	0.687376
688.5744	0.687577
689.572	0.687778
690.5688	0.688582
691.5674	0.689185
692.5644	0.689989
693.5626	0.69019
694.5596	0.69019
695.5576	0.690793
696.555	0.691195
697.552	0.691396
698.5504	0.691396
699.5474	0.691396
700.5452	0.691396
701.5428	0.691597
702.5404	0.691798
703.5378	0.691798
704.535	0.693004
705.5322	0.693808
706.5302	0.694411
707.5272	0.695416
708.5252	0.695416
709.5224	0.695416
710.5198	0.69622
711.5176	0.696421
712.5148	0.696421
713.5126	0.696622
714.51	0.696622
715.5078	0.696823
716.505	0.697024
717.5026	0.697426
718.5	0.698029
719.4974	0.698431
720.494	0.698431
721.4926	0.699234
722.4896	0.699837
723.4878	0.699837
724.4848	0.699837
725.4828	0.699837
726.4802	0.699837
727.4778	0.699837
728.475	0.699837
729.4726	0.699837
730.47	0.699837
731.4674	0.699837
732.4648	0.699837
733.4624	0.699837
734.4598	0.70024
735.4574	0.700441
736.4548	0.701043
737.4526	0.701043
738.4498	0.701445
739.4478	0.701445

Fraksi Volume

Selulosa 4%

Fraksi volume 4%	
X = ε (%)	Y = σ (N/mm²)
0.0216	0.007202
0.0874	0.007202
0.2108	0.007202
0.4068	0.008261
0.6954	0.008897
1.0962	0.01038
1.6396	0.012922
2.3598	0.015675
3.2882	0.019488
4.2848	0.024149
5.283	0.028385
6.28	0.032622
7.2776	0.037282
8.2746	0.041519
9.2726	0.045332
10.27	0.049992
11.268	0.05444
12.265	0.058042
13.2626	0.062066
14.2602	0.065667
15.2574	0.069268
16.2552	0.073929
17.2526	0.07753
18.25	0.081131
19.2474	0.084732
20.2448	0.088969
21.2426	0.09257
22.24	0.096171
23.2376	0.100196
24.2352	0.103585
25.2328	0.108033
26.23	0.111423
27.2278	0.114388
28.225	0.117989
29.2228	0.120955
30.2206	0.124768
31.2178	0.128369

32.216	0.130699
33.213	0.134512
34.2104	0.137478
35.2076	0.140867
36.2054	0.143833
37.2026	0.146374
38.1996	0.149764
39.1974	0.153153
40.1954	0.156119
41.1928	0.159296
42.1898	0.161415
43.1878	0.163957
44.1852	0.167134
45.1826	0.169252
46.18	0.171794
47.1774	0.17476
48.1748	0.176878
49.1726	0.179632
50.1698	0.182174
51.1676	0.185351
52.1646	0.187046
53.1626	0.1898
54.1594	0.192342
55.1576	0.194672
56.1546	0.196155
57.153	0.19912
58.1498	0.201662
59.148	0.204204
60.1446	0.205899
61.1428	0.207805
62.1396	0.210347
63.1376	0.212677
64.1346	0.213737
65.1326	0.216279
66.1296	0.219244
67.1274	0.221574
68.1246	0.222633
69.1228	0.224964
70.1196	0.22687
71.1174	0.2292
72.1148	0.230471
73.1128	0.232802
74.1092	0.234284

75.1084	0.236614
76.1052	0.23725
77.1028	0.238733
78.1002	0.241275
79.0976	0.242334
80.0952	0.244876
81.0928	0.246147
82.09	0.24763
83.0878	0.249112
84.0852	0.250383
85.08279	0.25229
86.0804	0.253349
87.078	0.255255
88.0756	0.256738
89.073	0.258221
90.07059	0.259704
91.068	0.260339
92.0654	0.262246
93.063	0.262881
94.0602	0.264576
95.058	0.266271
96.05579	0.267118
97.0528	0.268601
98.0514	0.270507
99.04819	0.271143
100.0456	0.272626
101.043	0.273896
102.0402	0.275591
103.0378	0.276862
104.0358	0.277498
105.0328	0.278557
106.0308	0.279192
107.0278	0.280251
108.0256	0.28131
109.0228	0.281946
110.0204	0.283429
111.0178	0.284488
112.0156	0.285759
113.0128	0.287454
114.0106	0.287877
115.0076	0.28936
116.0056	0.290631
117.0026	0.29169

118.0006	0.292749	160.8934	0.324312	203.7858	0.34846
118.9978	0.293597	161.891	0.325159	204.7826	0.349732
119.9956	0.293597	162.8882	0.326218	205.7808	0.349943
120.993	0.294656	163.886	0.326854	206.7776	0.350367
121.9904	0.294868	164.8828	0.327489	207.7754	0.351638
122.9874	0.295927	165.8808	0.327489	208.773	0.351638
123.9854	0.297198	166.878	0.327489	209.7704	0.352062
124.9824	0.297833	167.8758	0.327913	210.768	0.352697
125.9802	0.298892	168.873	0.328761	211.7654	0.352909
126.9776	0.300799	169.871	0.328972	212.7634	0.353545
127.9764	0.300799	170.8678	0.33109	213.7604	0.353968
128.9726	0.301646	171.866	0.331514	214.7582	0.353968
129.9702	0.302494	172.863	0.331726	215.7552	0.355239
130.9672	0.303341	173.861	0.33215	216.7528	0.355663
131.9652	0.304612	174.858	0.332997	217.7506	0.355875
132.9624	0.304824	175.8558	0.333421	218.7486	0.356087
133.9604	0.305671	176.8532	0.334448	219.7454	0.357993
134.9576	0.306095	177.8516	0.335115	220.743	0.357993
135.9552	0.306942	178.8482	0.335539	221.7408	0.35884
136.952	0.307366	179.846	0.335963	222.7384	0.359476
137.9502	0.308213	180.8434	0.336386	223.7358	0.359476
138.9472	0.308636	181.8416	0.336386	224.7332	0.359899
139.9454	0.308848	182.8382	0.337657	225.7304	0.359899
140.9424	0.310331	183.8358	0.338504	226.7282	0.360111
141.9406	0.310967	184.833	0.338504	227.7258	0.360535
142.9376	0.312026	185.8302	0.33914	228.7232	0.361382
143.9356	0.313297	186.828	0.339776	229.721	0.361382
144.9324	0.31372	187.8258	0.340835	230.7182	0.362018
145.9306	0.314356	188.8232	0.341682	231.7164	0.362441
146.9276	0.315415	189.82	0.341682	232.713	0.363077
147.9262	0.315839	190.818	0.342318	233.711	0.364772
148.9228	0.316051	191.8156	0.342741	234.708	0.365831
149.9206	0.317322	192.8128	0.343165	235.7066	0.365831
150.9174	0.317322	193.8106	0.343377	236.7032	0.365831
151.9162	0.318169	194.808	0.344436	237.7014	0.366466
152.913	0.318592	195.8058	0.344436	238.6986	0.366466
153.911	0.319016	196.8026	0.344648	239.6962	0.366678
154.9082	0.320075	197.801	0.345071	240.6934	0.367525
155.906	0.320499	198.798	0.345707	241.6912	0.367737
156.9032	0.321982	199.7954	0.345707	242.6886	0.367949
157.9014	0.322406	200.7928	0.346554	243.6862	0.367949
158.8984	0.323465	201.7904	0.347401	244.6836	0.368585
159.8958	0.323889	202.7876	0.348249	245.6812	0.368796

246.6784	0.369855	286.579	0.389132	326.479	0.407561
247.676	0.37155	287.5762	0.389767	327.4756	0.407561
248.6736	0.37155	288.5742	0.389979	328.4738	0.408409
249.6712	0.37155	289.5712	0.389979	329.4708	0.408409
250.6684	0.37155	290.5692	0.389979	330.469	0.40862
251.6662	0.372186	291.5664	0.390403	331.4662	0.409256
252.6636	0.372397	292.5642	0.391039	332.464	0.409679
253.661	0.373033	293.561	0.392098	333.4608	0.409679
254.6588	0.373457	294.5592	0.393157	334.4588	0.410103
255.656	0.374092	295.556	0.393792	335.4556	0.410951
256.6536	0.374092	296.5544	0.394428	336.454	0.411162
257.651	0.374092	297.551	0.394428	337.4508	0.41201
258.6484	0.374304	298.5494	0.395911	338.4488	0.412857
259.646	0.374939	299.5462	0.395911	339.446	0.412857
260.6434	0.37621	300.5444	0.396334	340.4446	0.412857
261.6414	0.376634	301.541	0.396334	341.4408	0.413281
262.6384	0.376634	302.5392	0.396334	342.4396	0.413916
263.636	0.377269	303.5362	0.39697	343.4356	0.41434
264.6334	0.377693	304.5342	0.397182	344.4344	0.41434
265.6312	0.378964	305.5312	0.398664	345.431	0.41434
266.6286	0.379388	306.5294	0.398876	346.429	0.41434
267.6262	0.380023	307.5258	0.399512	347.4262	0.415187
268.6234	0.380023	308.5236	0.399512	348.4248	0.415187
269.6208	0.380235	309.5204	0.400783	349.4212	0.415187
270.6186	0.380447	310.5194	0.401206	350.4194	0.415187
271.616	0.381083	311.5156	0.40163	351.4164	0.415399
272.6136	0.381506	312.514	0.402054	352.4146	0.416246
273.6106	0.382777	313.5106	0.402265	353.4116	0.41667
274.6084	0.383413	314.5088	0.402901	354.4094	0.417094
275.6058	0.383836	315.5056	0.402901	355.4066	0.417517
276.6034	0.38426	316.5038	0.402901	356.4044	0.417517
277.6004	0.385319	317.501	0.403748	357.4016	0.417941
278.5984	0.385531	318.4988	0.403748	358.3994	0.418153
279.5958	0.38659	319.4954	0.403748	359.3968	0.418365
280.5938	0.386802	320.494	0.40396	360.3946	0.418365
281.591	0.387014	321.4904	0.404596	361.392	0.418788
282.5888	0.387226	322.4894	0.405655	362.3894	0.419212
283.5864	0.388073	323.4854	0.405867	363.387	0.419424
284.584	0.388285	324.484	0.40629	364.3844	0.419635
285.5814	0.388285	325.4806	0.406926		

Fraksi Volume

Selulosa 6%

Fraksi volume 6%	
X = ε (%)	Y = σ (N/mm²)
0.0216	0.006776
0.0866	0.006981
0.211	0.007186
0.4076	0.008008
0.6956	0.008829
1.0956	0.010472
1.6386	0.013757
2.3576	0.017247
3.2874	0.023202
4.2832	0.028951
5.2816	0.033879
6.2782	0.04045
7.2772	0.045788
8.2736	0.051126
9.271399	0.056876
10.2688	0.06283
11.2662	0.068169
12.2634	0.073507
13.2616	0.078846
14.2586	0.083774
15.2562	0.089728
16.2532	0.09404
17.2516	0.098968
18.2486	0.104101
19.2464	0.108618
20.2434	0.114162
21.2412	0.118063
22.2384	0.123607
23.2362	0.127919
24.2334	0.132231
25.231	0.137775
26.2282	0.141471
27.2264	0.146193
28.2234	0.150505
29.221	0.153585

30.2186	0.157691	73.1118	0.308812
31.2162	0.161182	74.1094	0.311482
32.2134	0.165083	75.10699	0.312919
33.2112	0.169806	76.10419	0.315588
34.2082	0.173502	77.102	0.318052
35.206	0.176787	78.099	0.320721
36.203	0.181304	79.0972	0.323596
37.2014	0.186027	80.0942	0.325033
38.1984	0.191116	81.0928	0.327497
39.196	0.195882	82.0892	0.330166
40.193	0.199168	83.08739	0.33263
41.1912	0.203069	84.08459	0.336121
42.1882	0.20697	85.0822	0.337558
43.1862	0.210461	86.0796	0.340433
44.1832	0.212514	87.0776	0.34187
45.1812	0.216826	88.0748	0.344539
46.1784	0.219906	89.0726	0.345772
47.176	0.223602	90.0694	0.34803
48.1734	0.227913	91.0668	0.350289
49.1712	0.231404	92.0646	0.351726
50.1684	0.2351	93.0618	0.353574
51.1662	0.238796	94.0592	0.355422
52.163	0.242492	95.057	0.357681
53.1612	0.24742	96.0544	0.359323
54.1584	0.250294	97.0516	0.362198
55.1564	0.253785	98.0494	0.36384
56.1538	0.257275	99.0468	0.365688
57.151	0.260355	100.0442	0.36692
58.1488	0.263435	101.042	0.368768
59.1462	0.267131	102.0394	0.371438
60.1436	0.270211	103.0368	0.372875
61.1414	0.27288	104.0342	0.373901
62.1388	0.276371	105.032	0.375339
63.1362	0.27904	106.029	0.376365
64.1338	0.28253	107.027	0.378213
65.1312	0.286432	108.024	0.37965
66.1286	0.289101	109.022	0.381088
67.1262	0.291565	110.019	0.382936
68.1236	0.294439	111.017	0.384168
69.122	0.297725	112.014	0.385605
70.1186	0.301215	113.0118	0.387453
71.1166	0.303474	114.0092	0.390122
72.1142	0.306554	115.0068	0.390944

116.0042	0.392586	158.8962	0.439196	201.7906	0.467325
117.002	0.394023	159.8952	0.439811	202.787	0.467941
117.9994	0.395461	160.8912	0.440222	203.7856	0.468763
118.9966	0.396077	161.89	0.441044	204.7822	0.469379
119.9946	0.396898	162.8862	0.44207	205.7804	0.4702
120.9916	0.398335	163.885	0.442481	206.7776	0.471021
121.9898	0.399362	164.881	0.442892	207.7754	0.471226
122.9866	0.401005	165.8798	0.442892	208.7724	0.471637
123.9846	0.40162	166.8764	0.443918	209.7706	0.472253
124.9816	0.403674	167.8754	0.444739	210.7676	0.472664
125.9798	0.405111	168.8712	0.44515	211.7654	0.472869
126.9758	0.406959	169.8702	0.445766	212.7626	0.473485
127.9742	0.40737	170.8662	0.446587	213.76	0.473896
128.9714	0.409628	171.8648	0.447408	214.7576	0.474923
129.9698	0.411271	172.8612	0.448846	215.755	0.475538
130.9666	0.411887	173.8598	0.449051	216.7532	0.475744
131.9646	0.412503	174.856	0.450283	217.7506	0.476154
132.9614	0.412914	175.8548	0.451105	218.7482	0.476565
133.9594	0.41394	176.8514	0.451105	219.746	0.477797
134.9568	0.415172	177.8496	0.45172	220.7432	0.478002
135.9544	0.416404	178.8464	0.452336	221.7406	0.478618
136.9518	0.417431	179.845	0.452336	222.7382	0.479029
137.9496	0.418457	180.842	0.453363	223.7358	0.47985
138.9462	0.418663	181.8398	0.454184	224.7332	0.47985
139.9446	0.420305	182.8366	0.454801	225.7308	0.480056
140.9416	0.421537	183.835	0.455622	226.7282	0.480466
141.9396	0.42318	184.8318	0.456238	227.7256	0.480672
142.9366	0.424412	185.8302	0.457059	228.7232	0.481082
143.9346	0.425644	186.827	0.459112	229.7202	0.481904
144.9314	0.426671	187.8248	0.459317	230.718	0.482725
145.9294	0.428108	188.8218	0.460139	231.7156	0.483135
146.9264	0.428519	189.8206	0.460755	232.713	0.483752
147.9248	0.429135	190.817	0.46096	233.711	0.484573
148.9216	0.430366	191.8156	0.461576	234.708	0.485394
149.9196	0.430777	192.8118	0.462398	235.705	0.486421
150.9164	0.431188	193.8106	0.462808	236.7028	0.486421
151.9144	0.432009	194.8074	0.463424	237.7002	0.486421
152.9112	0.43283	195.8056	0.463629	238.6976	0.486421
153.9098	0.433857	196.8026	0.463835	239.6952	0.487037
154.9064	0.435089	197.8006	0.464656	240.6928	0.487242
155.9052	0.436116	198.7972	0.465067	241.69	0.488269
156.9014	0.436937	199.7954	0.465683	242.6876	0.488474
157.8998	0.437963	200.7926	0.466709	243.6852	0.48868

244.6826	0.489706	287.5754	0.509212	330.4686	0.527281
245.68	0.490117	288.5732	0.509212	331.4658	0.527281
246.6776	0.490322	289.5702	0.510034	332.4636	0.527486
247.6746	0.491349	290.5682	0.510444	333.4608	0.527486
248.6726	0.49217	291.5654	0.510855	334.4584	0.528308
249.67	0.492786	292.563	0.51106	335.456	0.528513
250.6678	0.492786	293.5602	0.512498	336.4534	0.529129
251.665	0.493402	294.5582	0.512908	337.4516	0.530156
252.6628	0.494223	295.5554	0.513113	338.4488	0.530156
253.6602	0.494634	296.5532	0.513935	339.446	0.530771
254.658	0.49525	297.5504	0.51414	340.4436	0.530771
255.6554	0.49525	298.548	0.514551	341.4408	0.532004
256.653	0.495455	299.5454	0.514961	342.4386	0.532209
257.6504	0.495455	300.543	0.515167	343.436	0.532414
258.6478	0.495866	301.5404	0.515167	344.4334	0.532619
259.6452	0.496277	302.538	0.515783	345.4312	0.532619
260.6428	0.496687	303.5354	0.515988	346.4284	0.532619
261.6404	0.497098	304.533	0.515988	347.4262	0.532619
262.638	0.497919	305.5302	0.516809	348.4236	0.532619
263.6356	0.49833	306.5278	0.517631	349.421	0.532619
264.633	0.499151	307.5246	0.517631	350.4186	0.532825
265.6304	0.500178	308.5228	0.518452	351.4158	0.533441
266.628	0.500178	309.5202	0.519273	352.4134	0.533646
267.6258	0.500589	310.518	0.520095	353.4112	0.534262
268.6232	0.500999	311.515	0.520095	354.4084	0.535289
269.6206	0.50182	312.513	0.5203	355.406	0.536316
270.6182	0.502026	313.5102	0.52071	356.4034	0.536316
271.6156	0.502231	314.5078	0.52071	357.4018	0.537137
272.613	0.502436	315.505	0.52071	358.3986	0.537137
273.6104	0.503463	316.5028	0.52071	359.396	0.537342
274.608	0.504079	317.5004	0.521121	360.3932	0.537342
275.6054	0.504284	318.498	0.521532	361.3914	0.537342
276.6028	0.505106	319.4954	0.522148	362.3882	0.537342
277.5998	0.505311	320.4932	0.522353	363.3866	0.537958
278.598	0.505927	321.4904	0.522969	364.3828	0.538163
279.5952	0.506748	322.4882	0.522969	365.3812	0.53919
280.593	0.506953	323.4854	0.524407	366.3782	0.540011
281.5904	0.50757	324.4832	0.525228	367.377	0.540627
282.5882	0.508186	325.4808	0.525228	368.3734	0.540627
283.5854	0.508186	326.4784	0.525638	369.371	0.541654
284.5832	0.508801	327.4758	0.525638	370.3682	0.54268
285.5804	0.509007	328.4736	0.526665	371.3662	0.54268
286.5782	0.509212	329.4708	0.527281	372.3632	0.542886

373.362	0.542886
374.358	0.542886
375.3564	0.542886
376.3532	0.543091
377.3514	0.543296
378.3486	0.543296
379.3464	0.543502
380.3434	0.543502
381.3416	0.543913
382.3382	0.544528
383.3366	0.545144
384.3328	0.545966
385.3308	0.546171
386.3282	0.546992
387.326	0.546992
388.3232	0.547198
389.3212	0.547198
390.318	0.547403
391.3162	0.547403
392.3132	0.547403
393.3112	0.547608
394.3082	0.547608
395.306	0.54884
396.303	0.54884
397.3016	0.549251
398.2982	0.549456
399.2964	0.549662
400.2932	0.550072
401.2912	0.550688
402.2882	0.550688
403.2864	0.551304
404.2836	0.551304
405.2814	0.551304
406.2784	0.551304
407.2764	0.55151
408.2734	0.55151
409.2714	0.55151
410.2686	0.55192
411.266	0.552331
412.2634	0.552947
413.2614	0.552947
414.2586	0.554179
415.2562	0.555
416.2538	0.555206
417.2514	0.555616
418.2486	0.555822
419.2464	0.556232
420.244	0.556232
421.2418	0.556643
422.2388	0.556643
423.2364	0.556848
424.2336	0.557053
425.231	0.557053
426.2284	0.55767
427.2264	0.558696
428.2238	0.559928
429.2212	0.559928
430.2184	0.560339
431.2164	0.560339
432.2134	0.560339
433.2112	0.560339
434.2084	0.560339
435.206	0.559723
436.2034	0.559723
437.2012	0.559312
438.198	0.558901
439.196	0.558901
440.1932	0.558901
441.1912	0.559517
442.1884	0.559517
443.1864	0.560134
444.1834	0.560544
445.1812	0.56116
446.1786	0.56116
447.1762	0.561776
448.1736	0.561981
449.171	0.562392
450.1686	0.562392
451.166	0.562392
452.164	0.562392
453.1612	0.562392
454.1588	0.562392
455.156	0.563213
456.1538	0.563213
457.1512	0.563624
458.1488	0.56424
459.1462	0.565267
460.1438	0.565472
461.1416	0.566088
462.1386	0.566088
463.1364	0.566088
464.1338	0.566088
465.1312	0.566498
466.1284	0.566498
467.1266	0.566498
468.1236	0.566498

Fraksi Volume

Selulosa 8%

Fraksi volume 8%	
X = ε (%)	Y = σ (N/mm²)
0.0222	0.005954
0.0882	0.006304
0.2122	0.007005
0.4088	0.00788
0.6968	0.009106
1.098	0.011908
1.6422	0.014885
2.3636	0.018913
3.2924	0.024342
4.2892	0.031697
5.2868	0.037826
6.2842	0.044831
7.2816	0.051836
8.2792	0.057615
9.276199	0.064444
10.2742	0.070749
11.2716	0.077053
12.2692	0.082482
13.2666	0.087911
14.264	0.093514
15.2622	0.099819
16.259	0.104897
17.2568	0.110851
18.2542	0.11558
19.2518	0.120483
20.249	0.125562
21.2468	0.13029
22.2442	0.135543
23.2418	0.140097
24.239	0.144475
25.2372	0.149028
26.2342	0.153055
27.232	0.157083
28.2296	0.161811
29.2268	0.164964
30.2246	0.169867
31.2218	0.174595

32.2196	0.178448
33.2168	0.183001
34.2148	0.187204
35.212	0.191407
36.2096	0.196485
37.2068	0.201039
38.2044	0.205942
39.2012	0.21102
40.1996	0.215223
41.1968	0.219251
42.1948	0.223804
43.1918	0.227657
44.1896	0.231685
45.1872	0.235712
46.1846	0.23939
47.1822	0.243418
48.1796	0.24692
49.177	0.250247
50.1746	0.25445
51.1718	0.257778
52.1696	0.261455
53.167	0.264782
54.1644	0.26916
55.1618	0.272138
56.1596	0.274764
57.1568	0.278792
58.1554	0.28282
59.152	0.286147
60.1496	0.288774
61.1468	0.291576
62.1446	0.294553
63.142	0.29788
64.1394	0.300507
65.1364	0.304184
66.1346	0.306636
67.1316	0.309438
68.1296	0.313116
69.1262	0.315392
70.1248	0.318544
71.1214	0.321872
72.1192	0.323798
73.117	0.3266
74.1142	0.329402

75.1116	0.331328
76.10979	0.33413
77.1068	0.335881
78.1046	0.338158
79.1018	0.340259
80.0996	0.342536
81.0966	0.344988
82.0946	0.347439
83.0918	0.350066
84.0896	0.352168
85.0868	0.35532
86.0848	0.357246
87.082	0.359172
88.07999	0.361099
89.0774	0.363375
90.075	0.364776
91.0724	0.366703
92.07	0.368804
93.0674	0.37003
94.0648	0.371956
95.06219	0.373708
96.0598	0.375634
97.0572	0.378086
98.05479	0.379486
99.0528	0.381062
100.0502	0.383164
101.0474	0.38544
102.0452	0.387017
103.0424	0.388593
104.04	0.389818
105.0374	0.390869
106.0358	0.39227
107.0328	0.393146
108.0302	0.394722
109.0276	0.396123
110.0254	0.397349
111.023	0.3991
112.0204	0.400326
113.018	0.402077
114.0154	0.403128
115.0132	0.405054
116.0102	0.406105
117.0084	0.407506

118.0056	0.408907	160.8976	0.449535	203.7894	0.474577
119.0032	0.409782	161.8946	0.45006	204.788	0.474927
120.0006	0.411183	162.8932	0.45076	205.7844	0.475628
120.9982	0.412584	163.8896	0.451811	206.7824	0.476678
121.9954	0.413635	164.8878	0.452161	207.7798	0.477204
122.9932	0.414686	165.8844	0.452161	208.7776	0.477204
123.9902	0.415911	166.8828	0.452337	209.7748	0.477554
124.988	0.416787	167.8798	0.452862	210.7724	0.477554
125.985	0.418188	168.8776	0.454263	211.77	0.477554
126.983	0.418714	169.8748	0.454263	212.7672	0.478254
127.98	0.420464	170.873	0.454263	213.7648	0.47843
128.9788	0.421866	171.8698	0.455489	214.7624	0.47878
129.9752	0.422741	172.8678	0.456189	215.7596	0.47948
130.9724	0.423617	173.8648	0.45759	216.7572	0.480006
131.9698	0.424668	174.863	0.458641	217.7542	0.480706
132.9676	0.425018	175.8598	0.458991	218.7526	0.481932
133.9652	0.426769	176.8578	0.459342	219.7502	0.482457
134.9624	0.42782	177.855	0.460392	220.7472	0.482457
135.9604	0.428345	178.8532	0.460742	221.7452	0.483158
136.9576	0.428871	179.85	0.461092	222.7426	0.483333
137.9542	0.429396	180.8484	0.461618	223.74	0.484033
138.9524	0.430622	181.845	0.462318	224.7376	0.484209
139.9492	0.430797	182.843	0.462669	225.735	0.484734
140.9476	0.432373	183.84	0.463369	226.7324	0.485084
141.9444	0.433949	184.838	0.463719	227.73	0.485084
142.942	0.434825	185.835	0.464245	228.7276	0.485084
143.9392	0.43535	186.8326	0.465295	229.7248	0.485084
144.9376	0.436576	187.8298	0.466171	230.7226	0.485434
145.934	0.437276	188.8282	0.466521	231.72	0.486135
146.9324	0.438852	189.8252	0.467397	232.718	0.486835
147.9292	0.439203	190.8228	0.467747	233.7146	0.487361
148.9278	0.439728	191.8202	0.468798	234.7128	0.487886
149.9242	0.440428	192.818	0.469323	235.7098	0.487886
150.9228	0.440779	193.815	0.470024	236.708	0.489112
151.9192	0.441129	194.8128	0.470374	237.7052	0.489462
152.9176	0.442355	195.81	0.470724	238.7028	0.489813
153.9144	0.443405	196.8076	0.470724	239.7004	0.490163
154.9126	0.443931	197.8046	0.470899	240.698	0.490688
155.9094	0.444806	198.803	0.471074	241.6952	0.490863
156.9072	0.445507	199.8004	0.471775	242.6928	0.490863
157.9044	0.446382	200.7976	0.472651	243.6902	0.491213
158.903	0.446382	201.795	0.473526	244.6878	0.491739
159.8994	0.448309	202.7924	0.473526	245.6852	0.492264

246.683	0.49349
247.68	0.49384
248.678	0.494366
249.6758	0.494716
250.6734	0.495241
251.6702	0.495942
252.6684	0.496817
253.6652	0.496992
254.663	0.496992
255.6604	0.497518
256.6582	0.497518
257.6552	0.497868
258.6532	0.497868
259.6506	0.498218
260.6484	0.498393
261.6454	0.498568
262.644	0.499269
263.64	0.499969
264.6382	0.50067
265.6358	0.50102
266.6334	0.501545
267.6306	0.501545
268.628	0.501896

269.6258	0.502071
270.6232	0.502421
271.6208	0.502771
272.6184	0.502771
273.616	0.502771
274.6132	0.503472
275.6108	0.503822
276.6084	0.504172
277.6058	0.504523
278.603	0.505048
279.601	0.505748
280.5986	0.506274
281.5958	0.506799
282.5936	0.506799
283.5906	0.506799
284.5878	0.507149
285.5856	0.507499
286.5828	0.507499
287.5804	0.507499
288.578	0.507499
289.5756	0.507675
290.5728	0.507675
291.5704	0.50785

292.5682	0.50855
293.5656	0.508901
294.5628	0.509601
295.5608	0.509776
296.5582	0.510827
297.5558	0.511352
298.5536	0.511352
299.551	0.511352
300.5478	0.511352
301.5458	0.511352
302.5428	0.511352
303.541	0.511352
304.5378	0.511527
305.5358	0.512403
306.5328	0.512578
307.5312	0.512753
308.527	0.513804
309.5258	0.514154
310.5226	0.514154
311.521	0.51468
312.5174	0.51468
313.5162	0.51468
314.5124	0.51468